

TP géologie : Le phénomène sédimentaire – 1 :

Modelé des paysages et transfert des matériaux de surface



**Bryce Canyon
National Park,
USA**



L'altération du granite en région de haute latitude ou altitude

Les Drus
(massif du Mont-Blanc) :
exemple de relief granitique
alpin, découpé en dalles
verticales par un système de
diaclasses.

L'altération du granite en région de haute latitude ou altitude

photo JF Hagenmuller, <http://www.glaciers-climat.com/la-mer-de-glace-a-travers-les-ages.html>



Vue d'ensemble de la mer de Glace et du glacier du Géant.
Ce complexe glaciaire a une superficie de 30 km². Sa longueur actuelle est de 11 km.

L'altération du granite en région de haute latitude ou altitude

http://jl.franchomme.free.fr/erosion_eau.htm



Vallée glaciaire, proche du cirque de Gavarnie (Pyrénées).

L'altération du granite en région de haute latitude ou altitude



Moraine frontale.



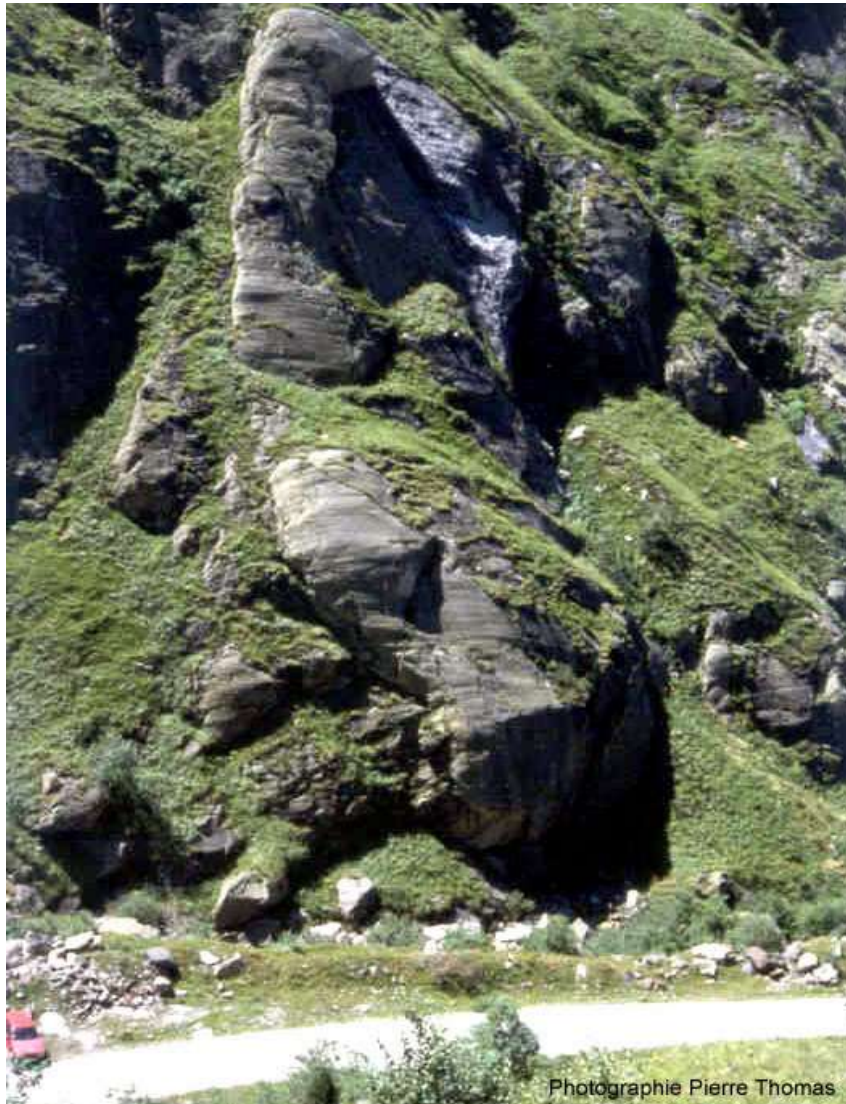
L'altération du granite en région de haute latitude ou altitude



Ancienne vallée glaciaire en auge et roches moutonnées – Troms, Norvège

L'altération du granite en région de haute latitude ou altitude

<http://planet-terre.ens-lyon.fr/image-de-la-semaine/lmg32-2003-02-24.xml>
<http://planet-terre.ens-lyon.fr/image-de-la-semaine/lmg361-2011-09-19.xml>



Vue générale d'un affleurement présentant des stries glaciaires, vallée de Vicdessos (Ariège).



Roche striée recouverte de placages clairs de « farine glaciaire », près du front des glaciers des Quirliès, Massif des Grandes Rousse (Isère).

L'altération du granite en région de haute latitude ou altitude



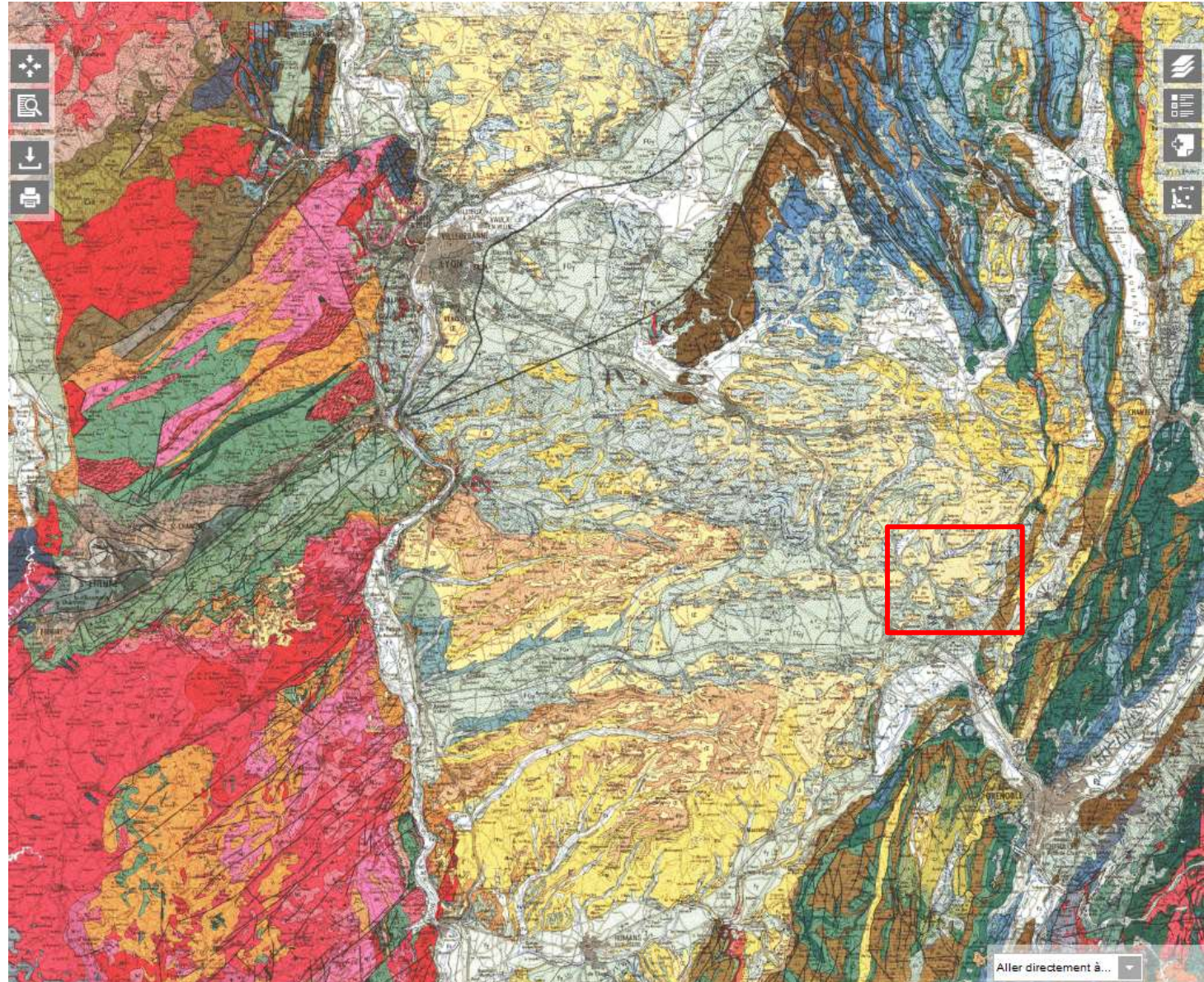
Photo : S. Morard

Le « Gros caillou » de la Croix-Rousse, à Lyon : un bloc erratique.

Dégagé au début du XXe siècle lors des travaux d'aménagement d'un funiculaire, ce gros caillou est constitué de quartzite triasique métamorphique. Les affleurements de ce type de terrain les plus proches sont situés en Haute Maurienne ou en Haute Tarentaise (Savoie), à plus de 175 km de Lyon.

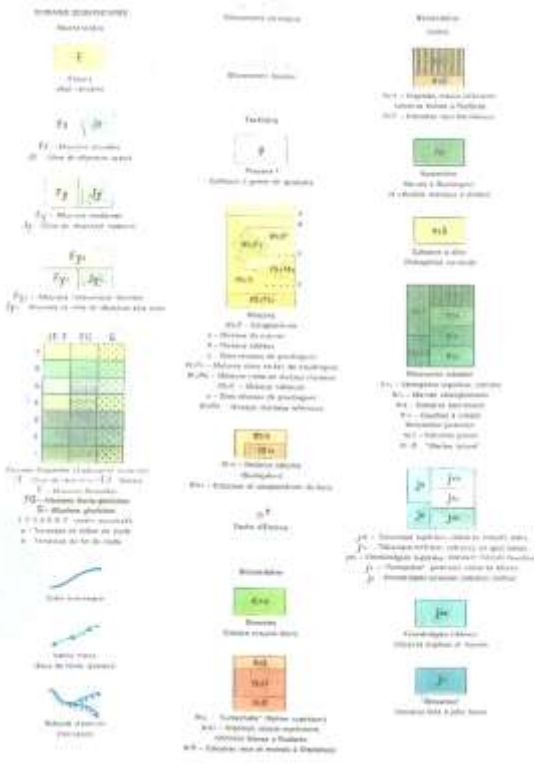
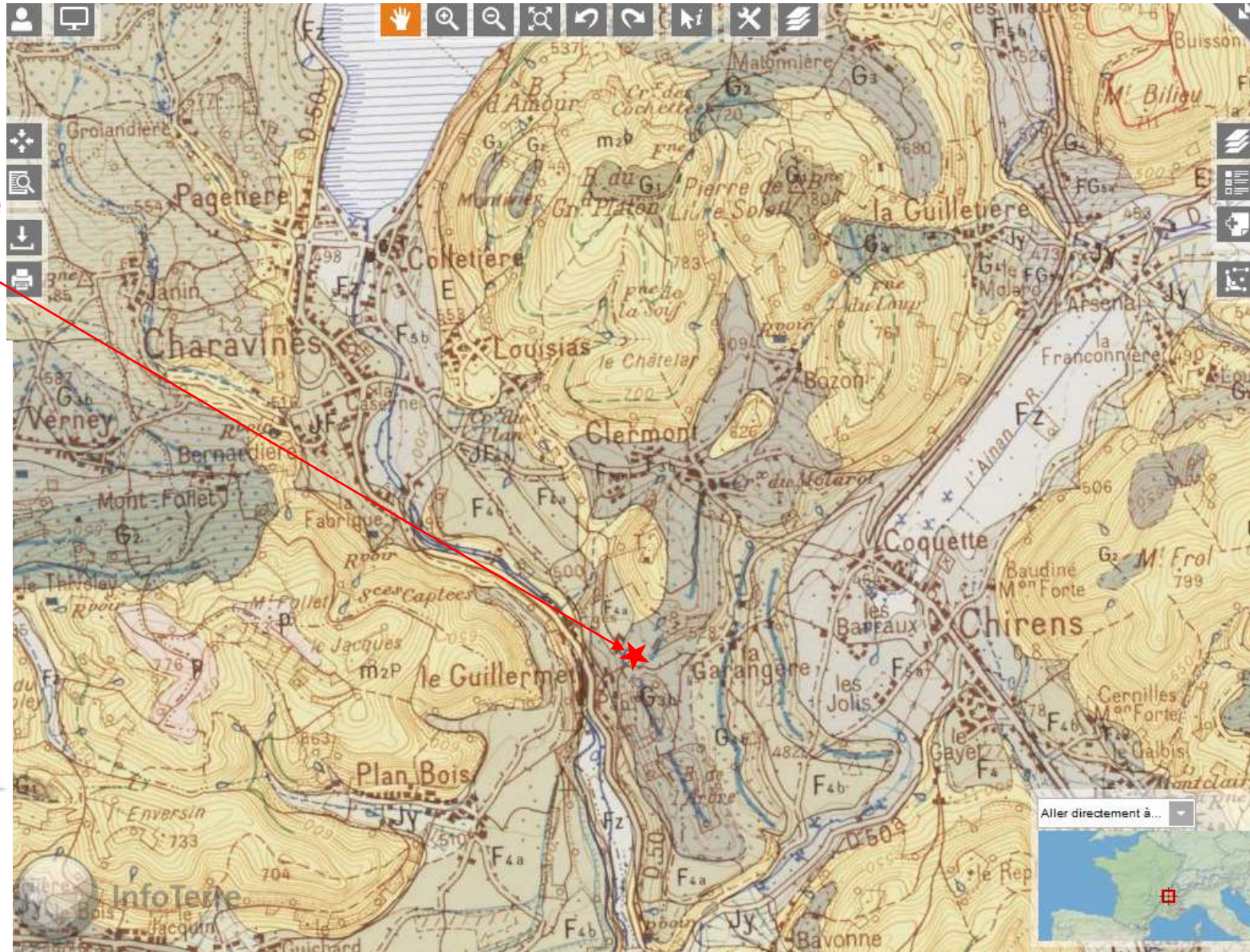
L'altération du granite en région de haute latitude ou altitude

Localisation de l'extrait
de carte de Voiron au 1 /
50 000^e



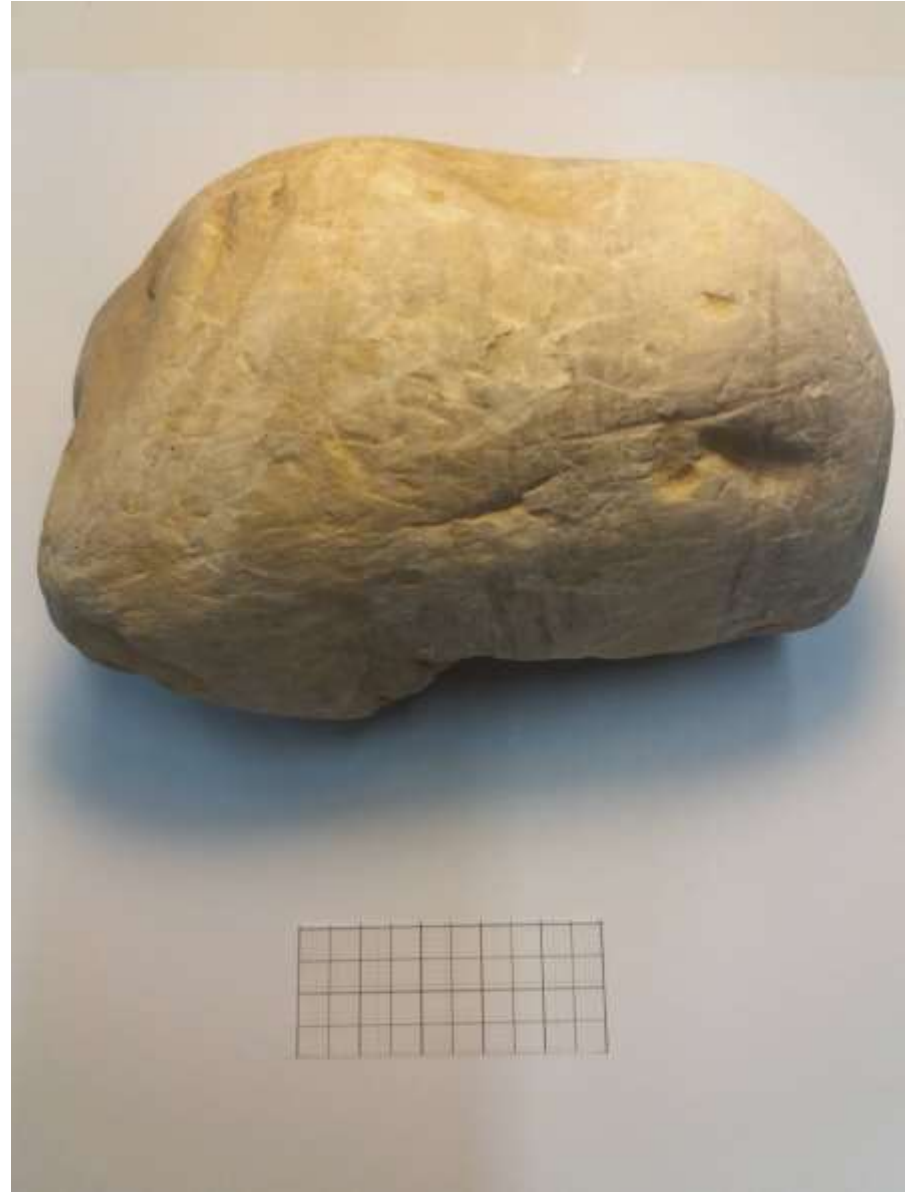
L'altération du granite en région de haute latitude ou altitude

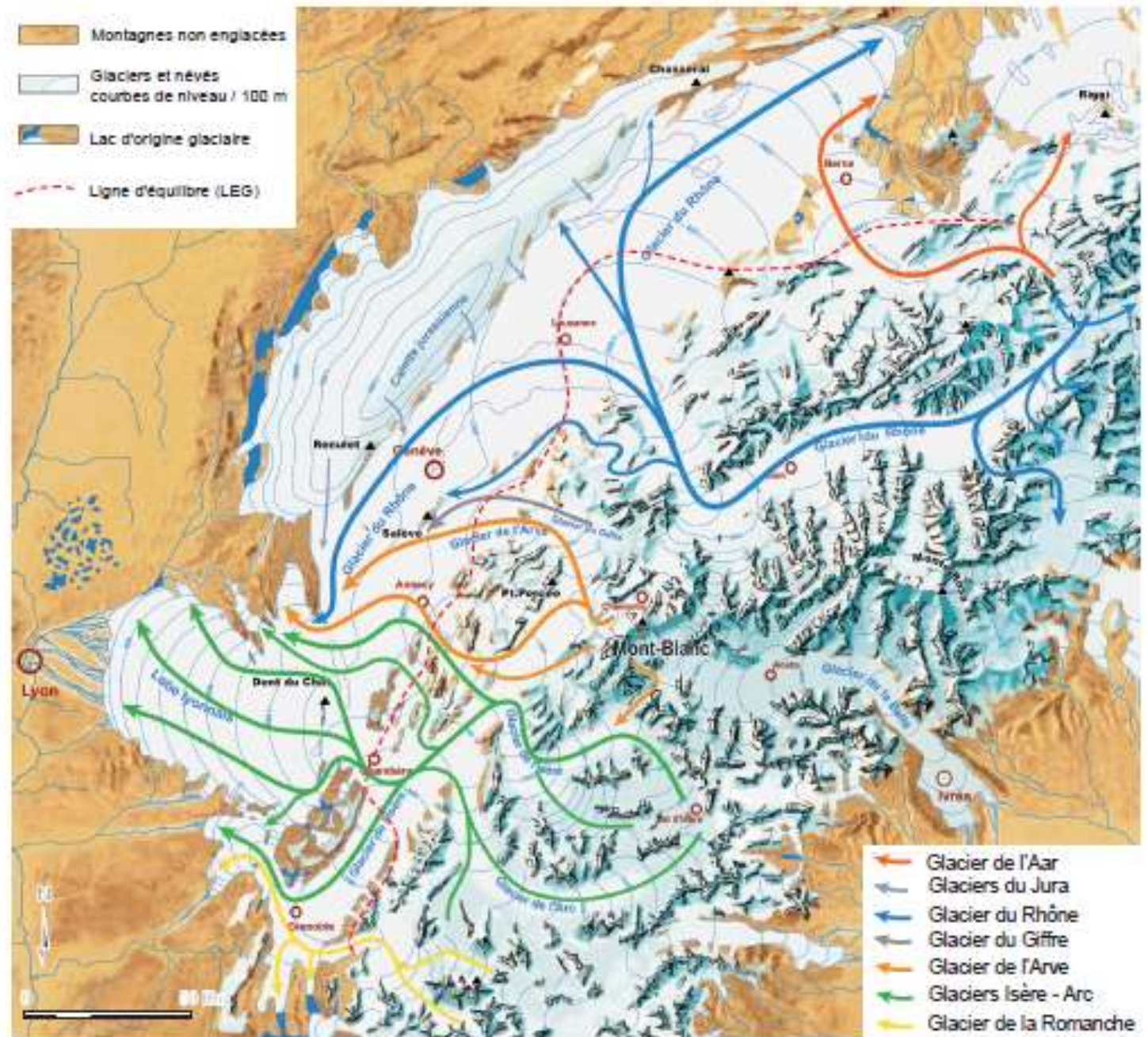
Site de provenance de l'échantillon suivant



L'altération du granite en région de haute latitude ou altitude

Echantillon GS

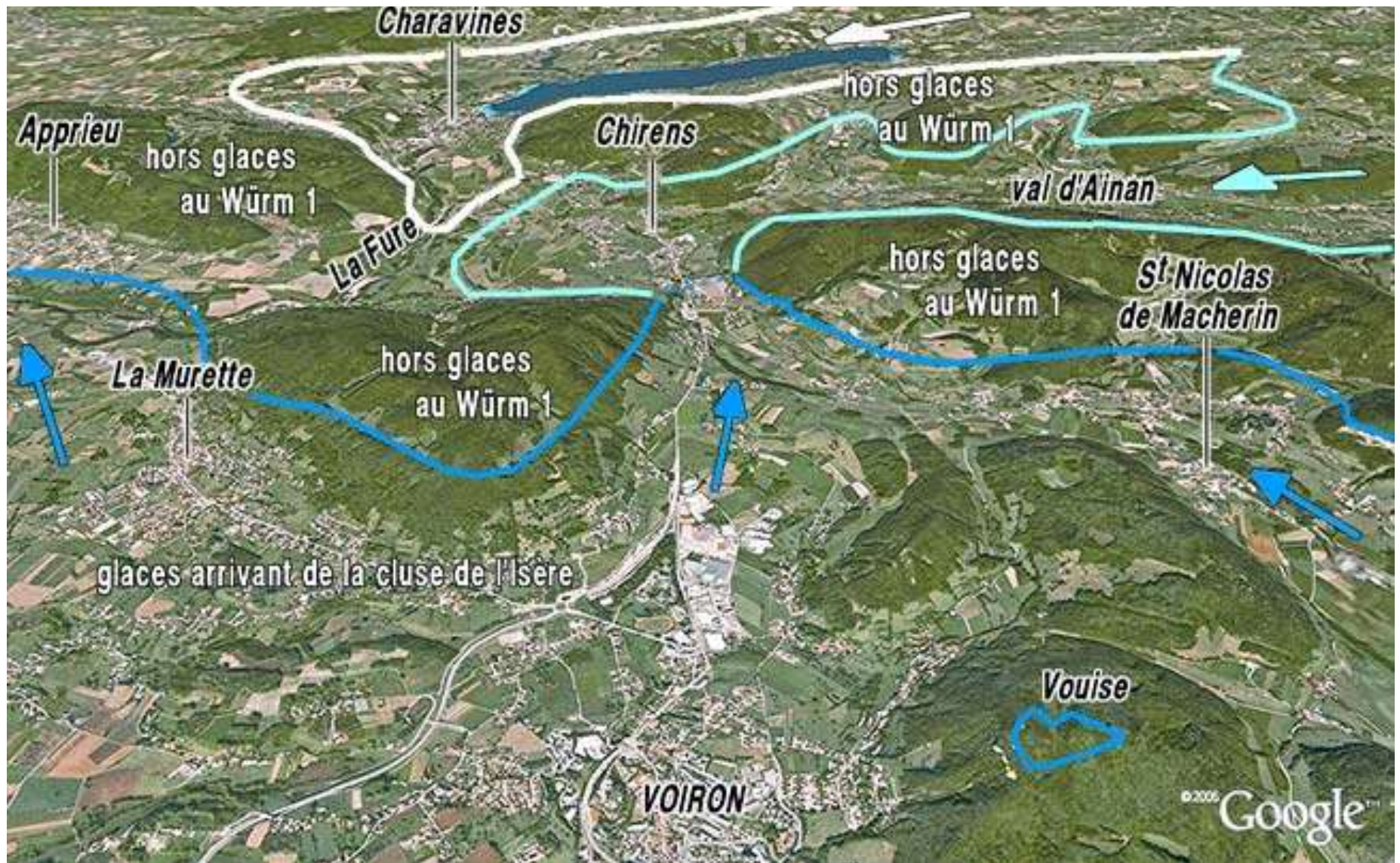




Extension des glaciers alpins au würm (80 000- 10 000 ans)

Coutterand et al, le lobe glaciaire lyonnais au maximum würmien édition archives ouvertes

L'altération du granite en région de haute latitude ou altitude

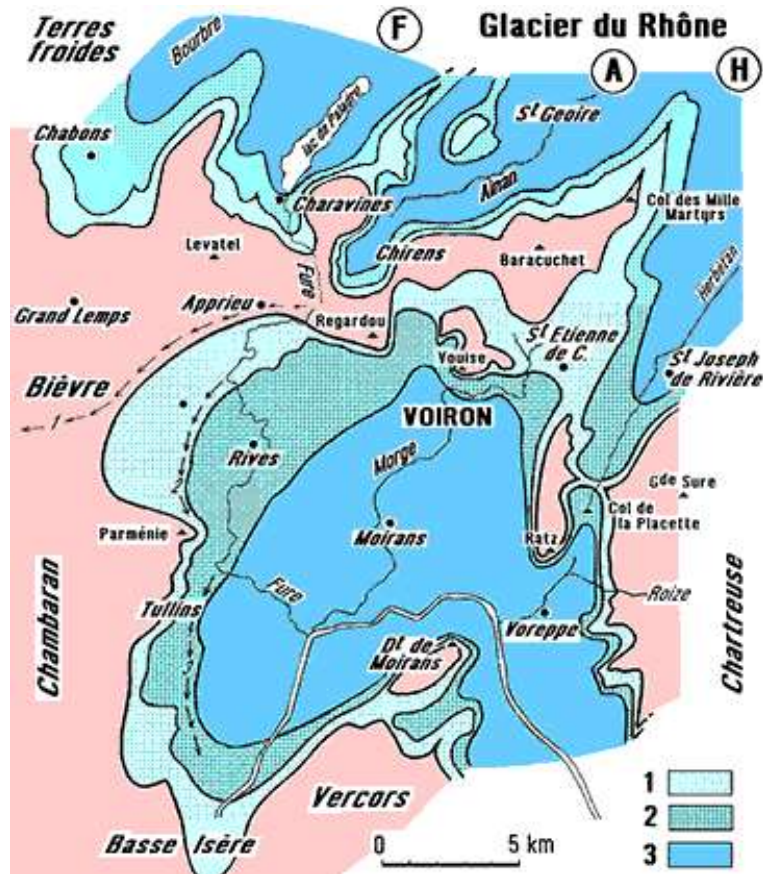


Extension terminale de glaciers alpins dans le Voironnais

L'altération du granite en région de haute latitude ou altitude



Une langue glaciaire actuelle au Spitzberg donne une idée du paysage lors du stade 1 à l'entrée de la plaine de la Bièvre



Extension terminale de glaciers alpins dans le Voironnais

1, 2 et 3 sont les positions de la marge glaciaire aux différentes étapes du retrait. L'extension maximale allait au delà du trait 1.

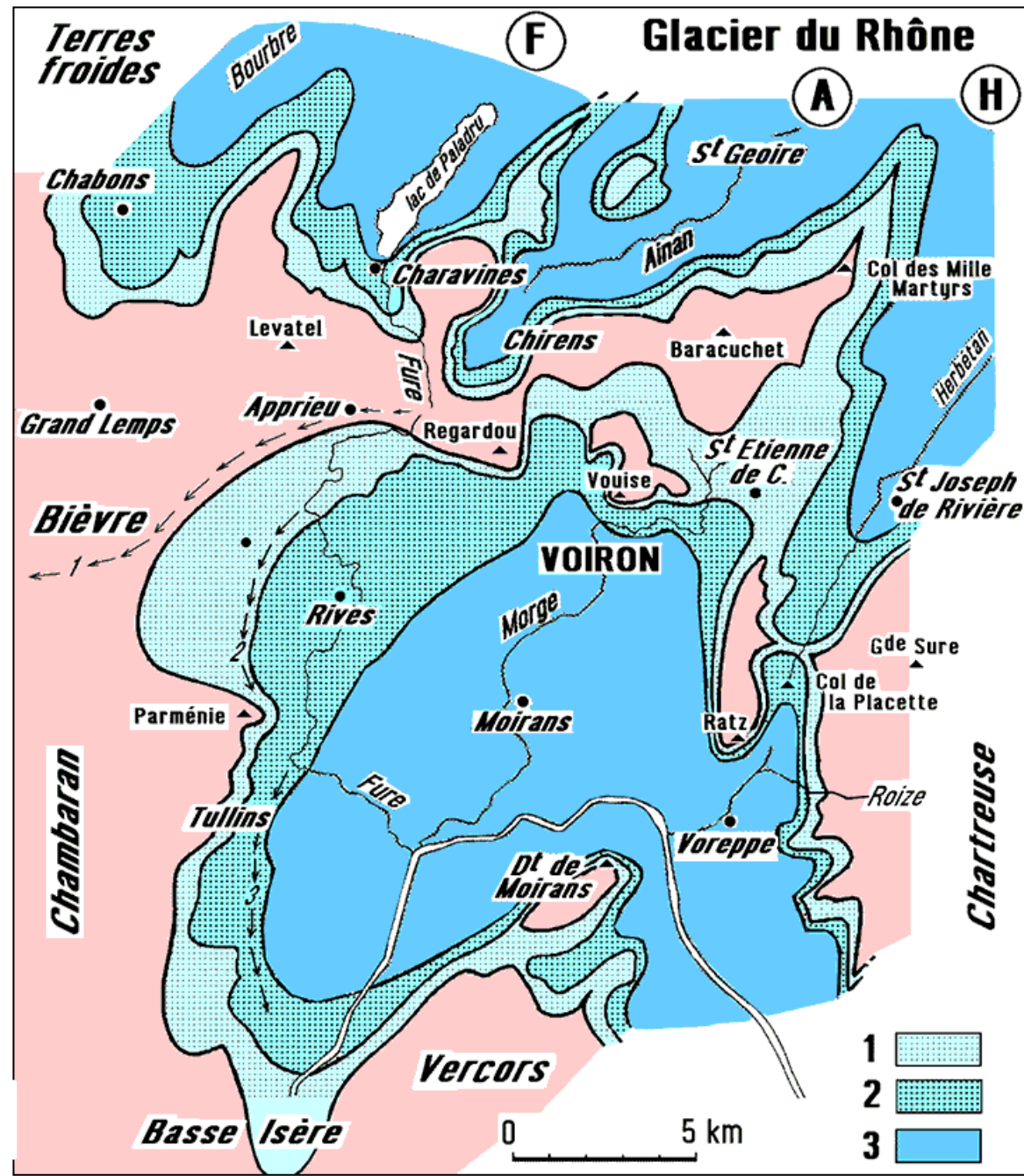
L'altération du granite en région de haute latitude ou altitude

Document 3. Extension des langues terminales des glaciers alpins dans le Voironnais (étapes successives du retrait).

A l'époque würmienne, les vallées du Voironnais sont envahies par les langues terminales de deux glaciers alpins, celui de la cluse de l'Isère (au Sud) et celui du Lyonnais (au Nord) qui se partage en plusieurs langues : langue de la Bourbre, langue de la Fure (F), langue de l'Ainan (A) et langue de l'Herbétan (H).

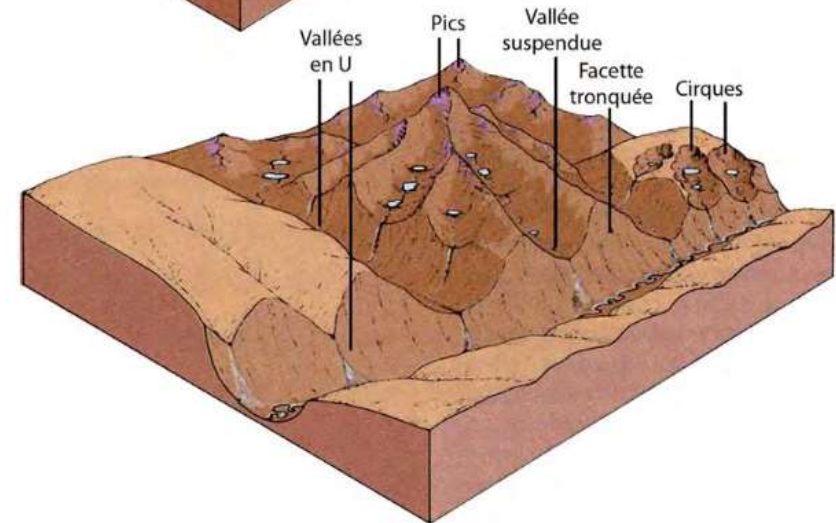
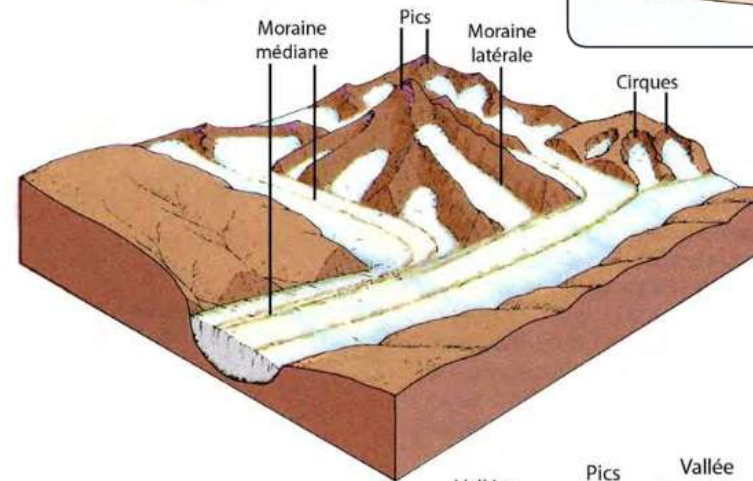
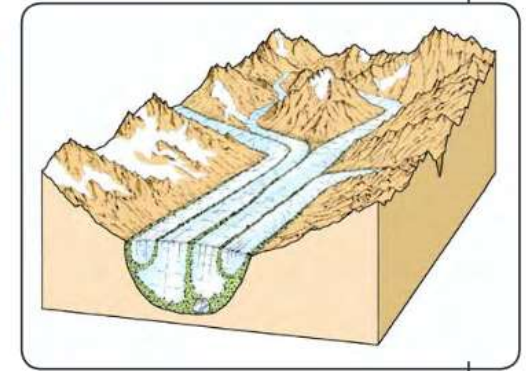
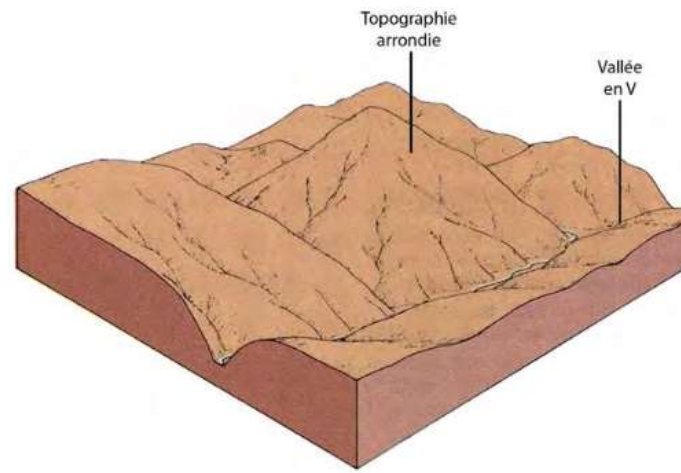
1, 2, 3 sont les positions de la marge glaciaire aux étapes successives de stationnement qui se sont échelonnées lors du retrait (zones englacées en gris). L'extension maximale du glacier würmien (époque dite de Würm II) se trouvait un peu au-delà de la ligne 1 (qui correspond à la première des oscillations dans le retrait du front glaciaire).

Les secteurs qui n'ont jamais été englacés

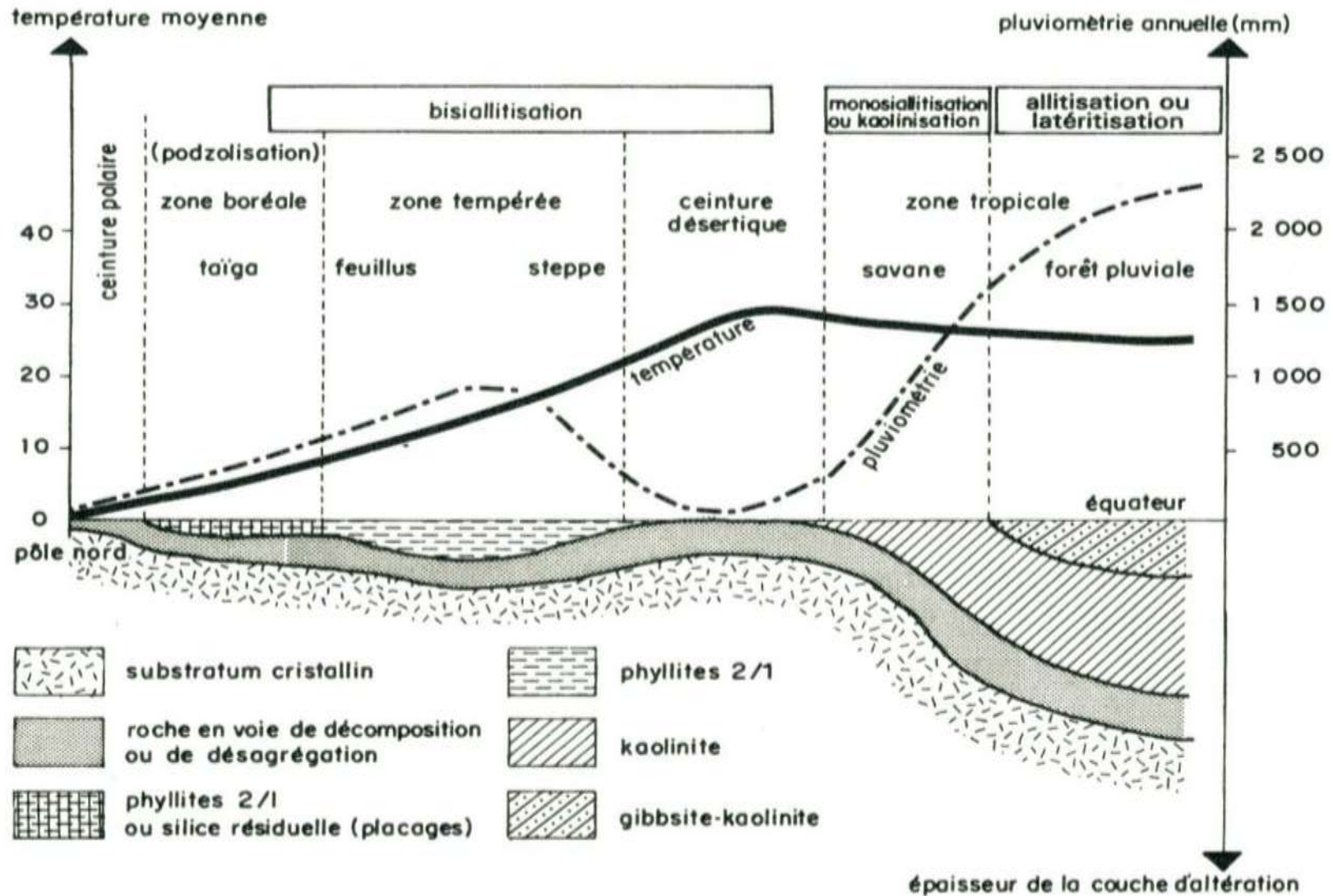


Quelques éléments de la morphologie glaciaire

Illustrations
de Bruno Anselme
Professeur
au lycée Fénélon (Paris)



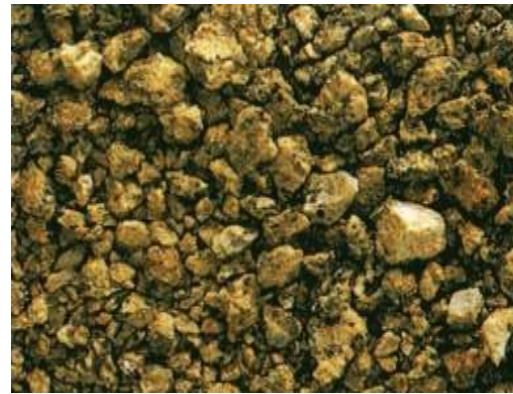
L'altération du granite en région de haute latitude ou altitude



Document 4. Nature minéralogique et épaisseur du manteau d'altération superficielle en région granitique selon la latitude.

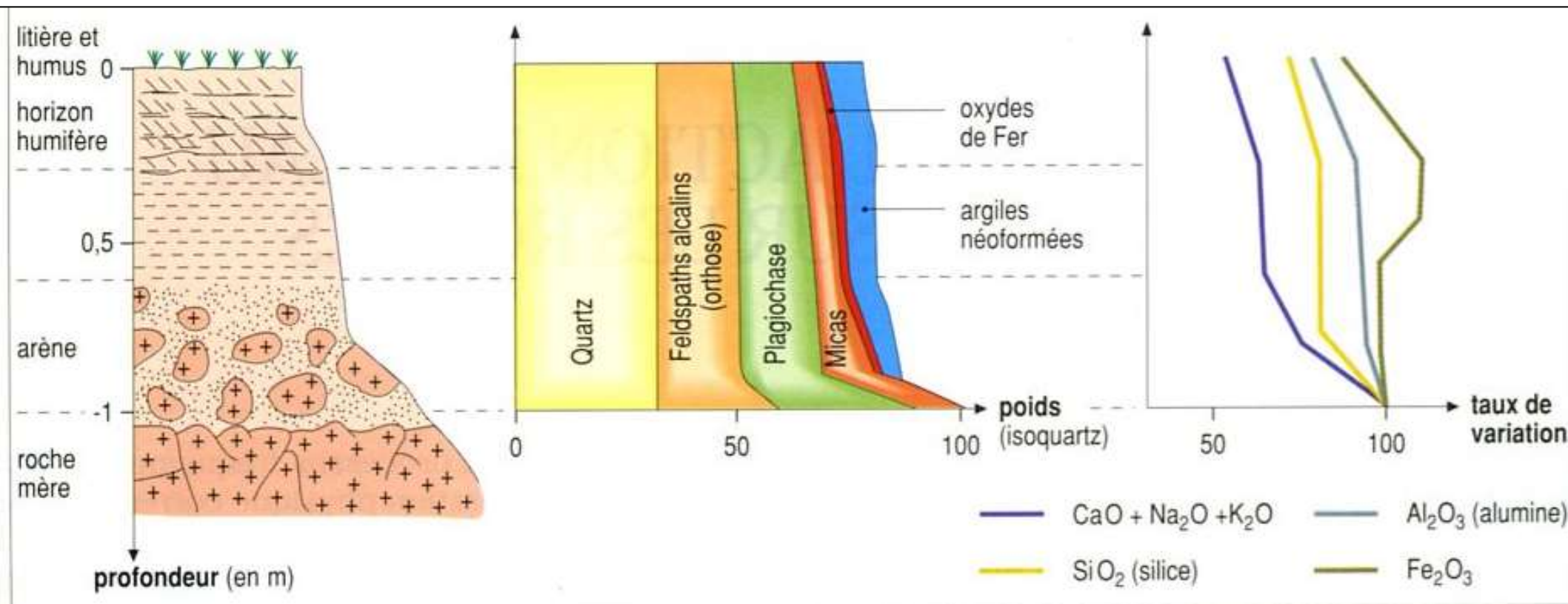
(D'après G. Pedro, in : POMEROL C. et coll., « Eléments de géologie » 14^e édition DUNOD Ed., 2011).

L'altération du granite en climat tempéré



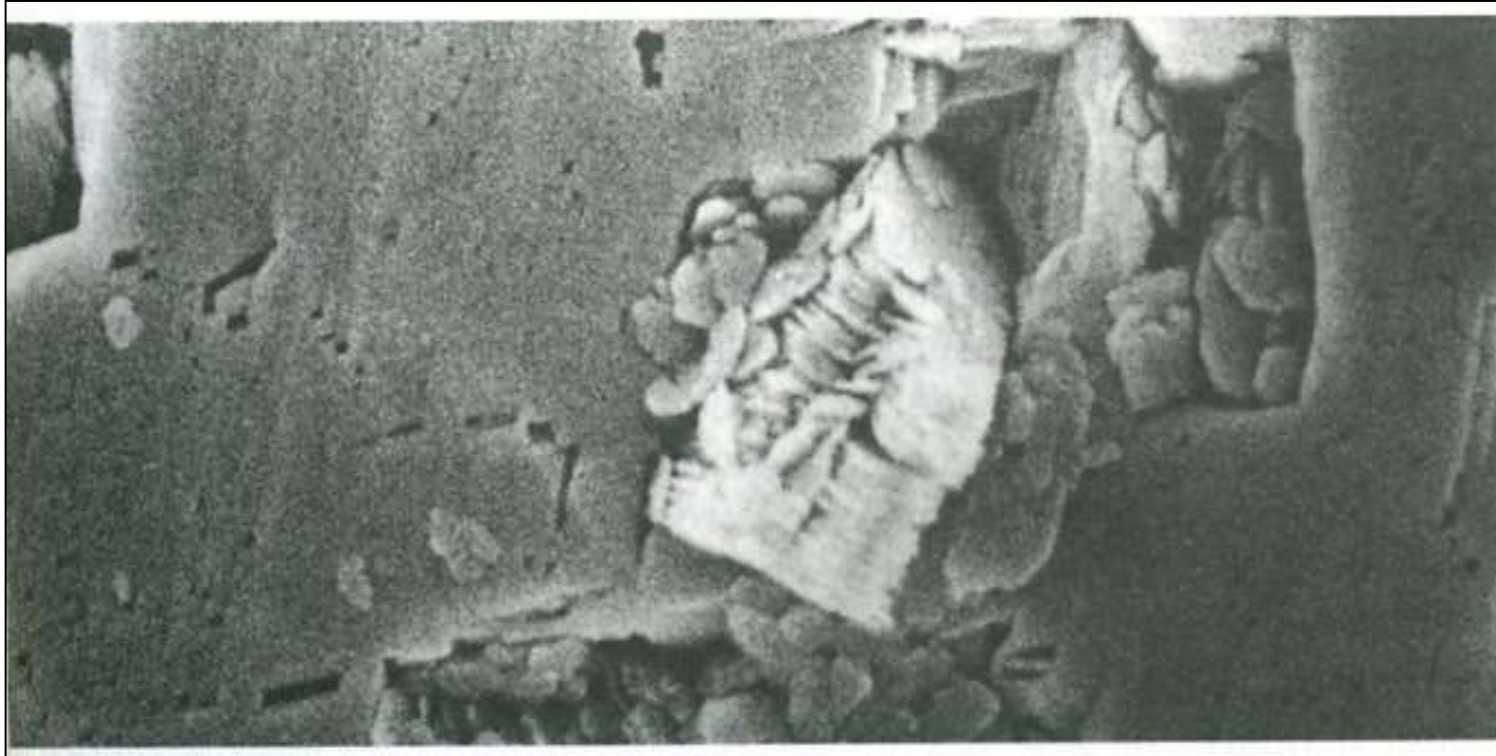
1. Profil d'altération dans une région granitique soumise à un climat tempéré observation d'ensemble et détail de trois horizons.

L'altération du granite en climat tempéré

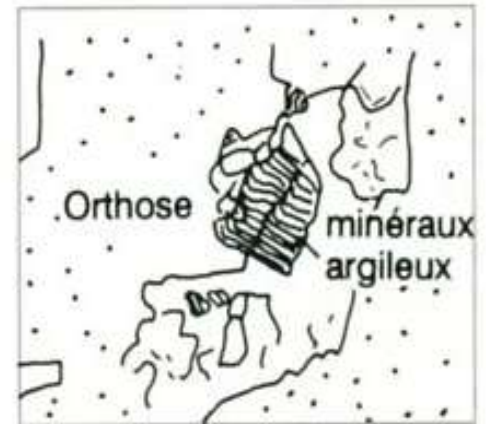


2. Evolution minéralogique et géochimique à différents niveaux d'un profil d'altération du granite

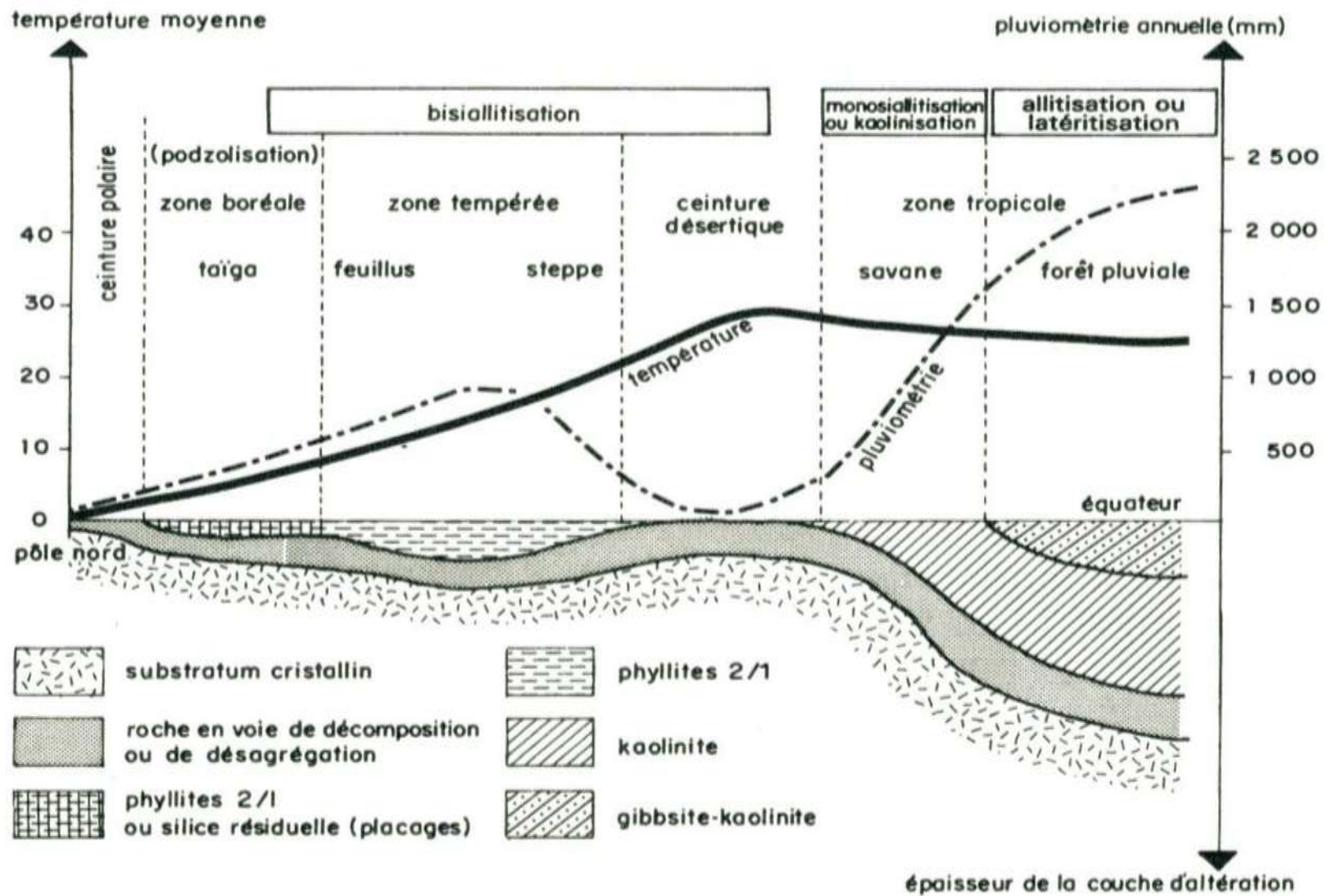
L'altération du granite en climat tempéré



◀ 3. Cristal d'orthose avec développement de minéraux argileux d'altération.
(MEB x 15 000)



L'altération du granite en climat tempéré



Document 4. Nature minéralogique et épaisseur du manteau d'altération superficielle en région granitique selon la latitude.

(D'après G. Pedro, in : POMEROL C. et coll., « Eléments de géologie » 14^e édition DUNOD Ed., 2011).

L'altération du granite en climat chaud et humide

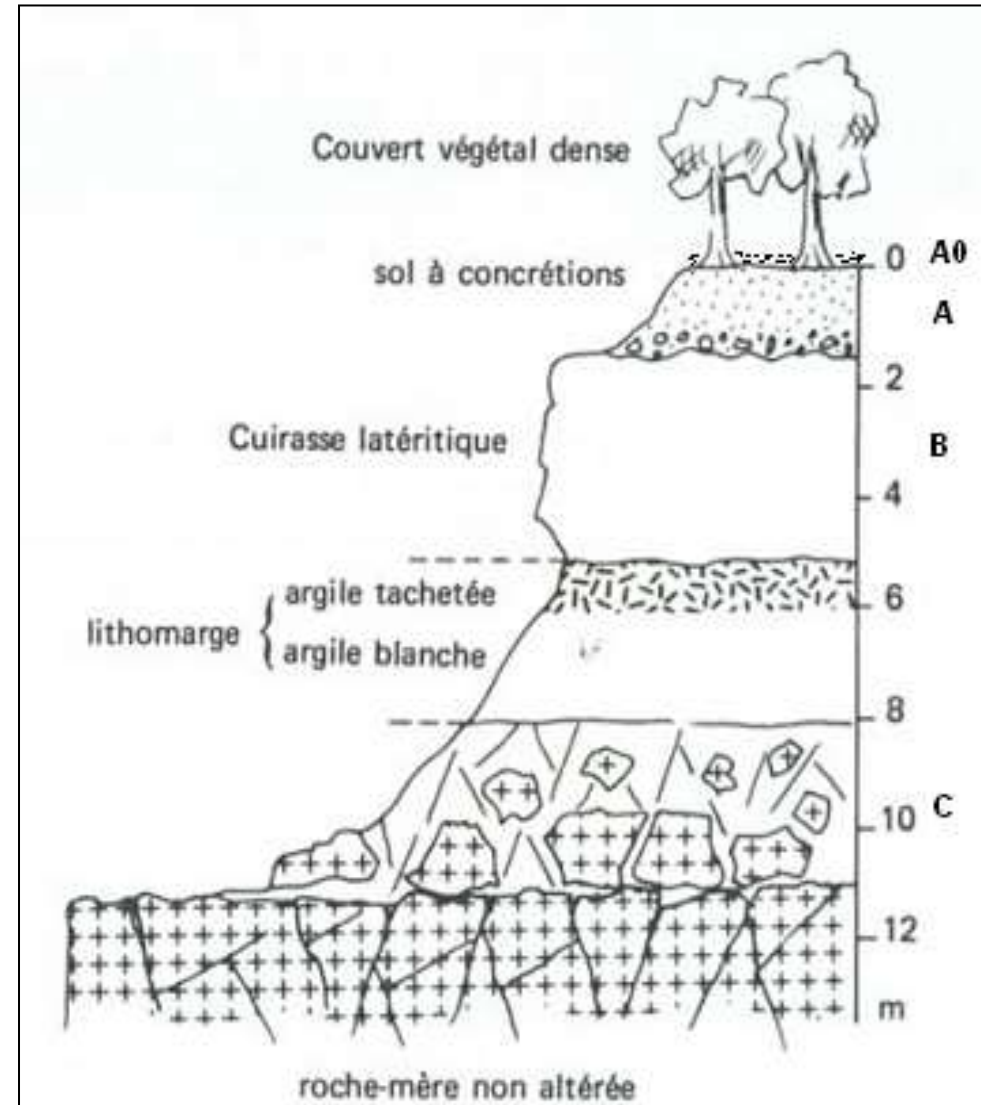


Profil latéritique sur roche-mère granitique au Japon.

L'altération du granite en climat chaud et humide

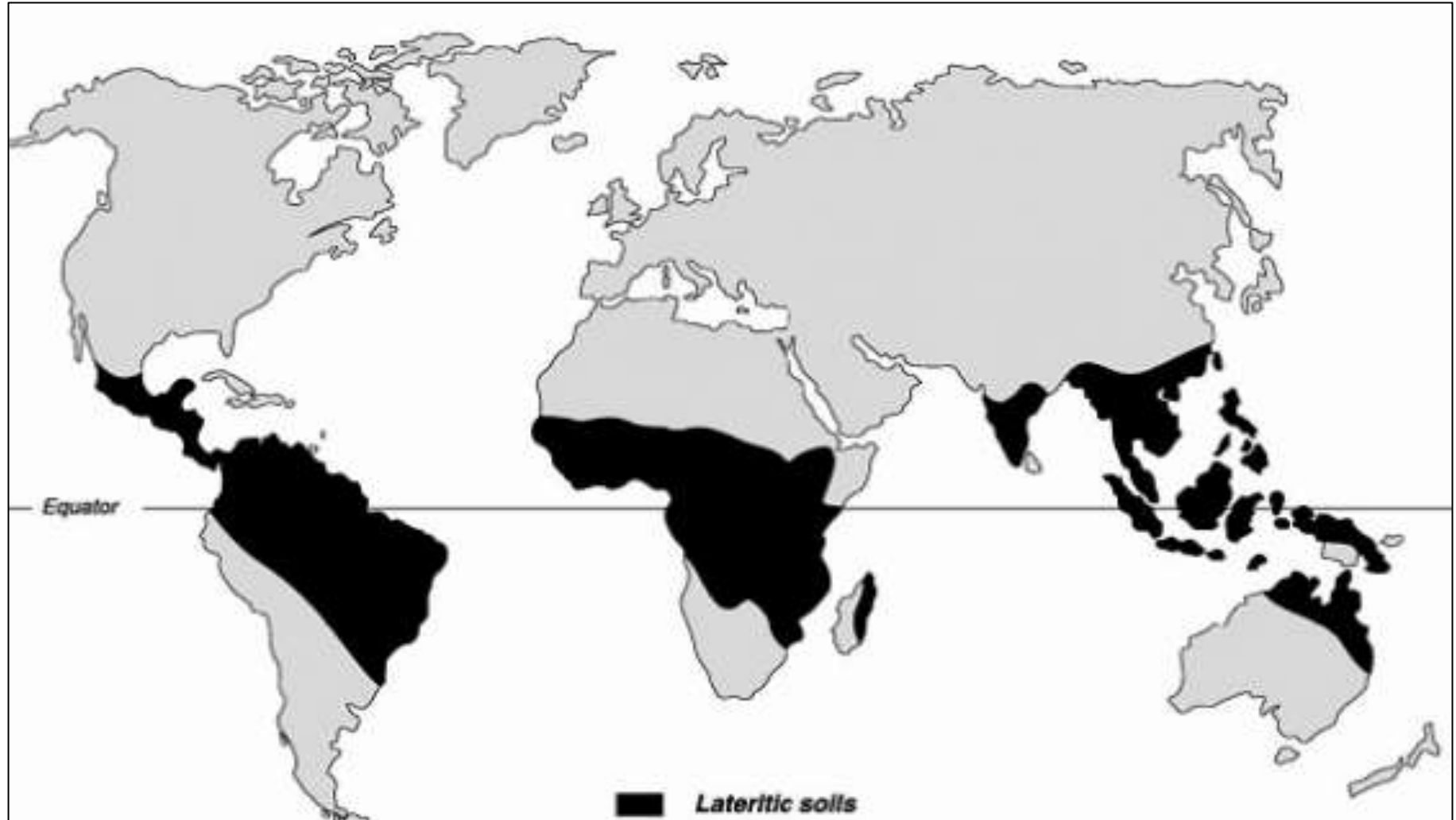


Profil latéritique sur roche-mère granitique au Japon.



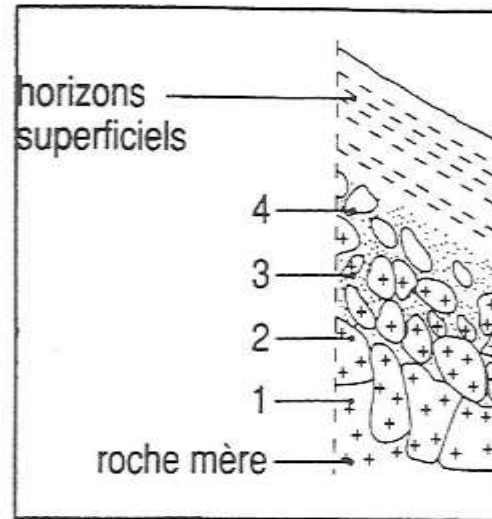
Profil pédologique d'un sol latéritique de Côte d'Ivoire.

L'altération du granite en climat chaud et humide



Répartition des sols latéritiques dans le Monde.

L'altération du granite en climat chaud et humide



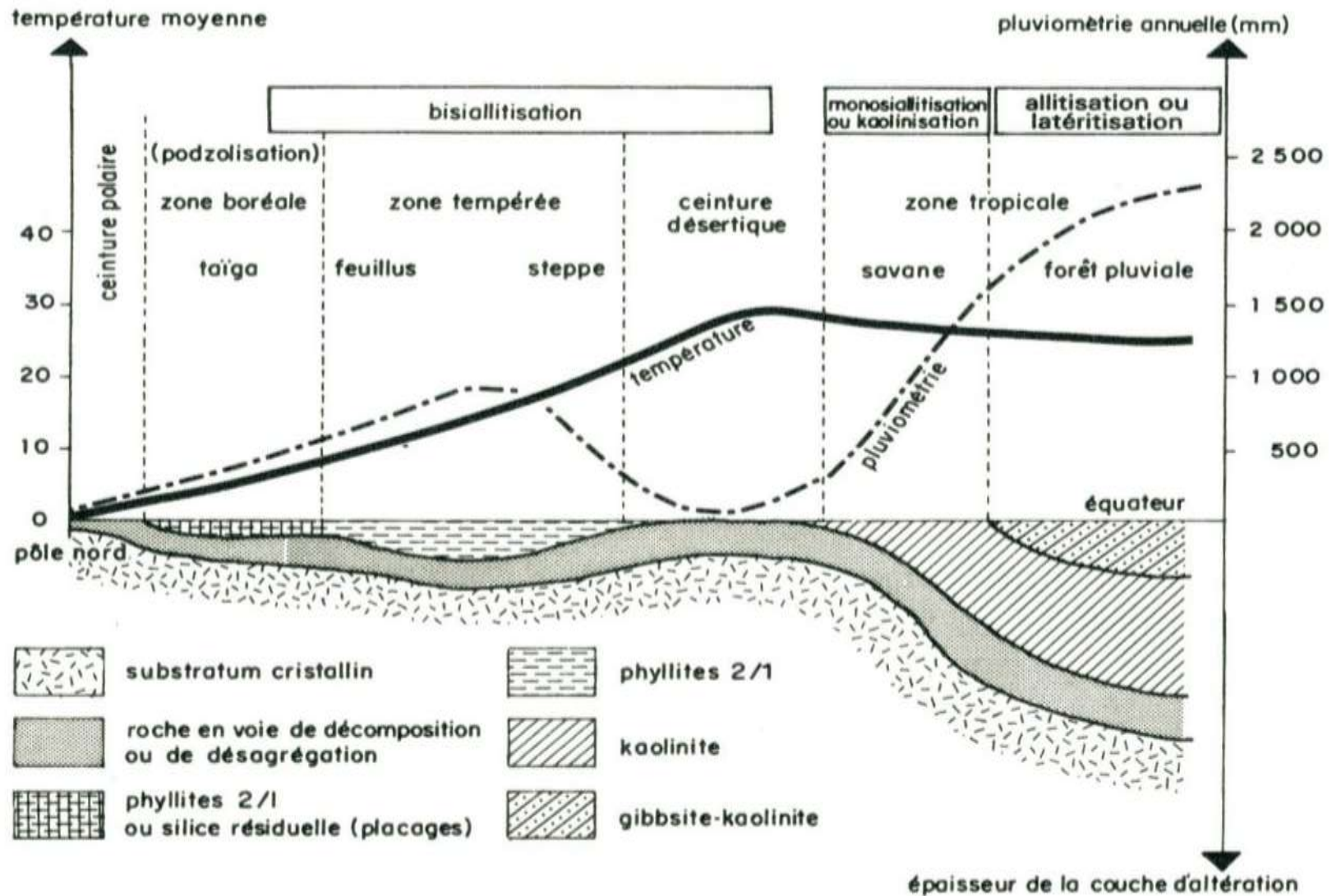
Repérage des niveaux analysés dans une schématisation du profil

Niveaux	1 d : 2,67	2 d : 2,48	3 d : 2,41	4 d : 2,45
SiO ₂	184,5	159,9	148,6	140,6
Al ₂ O ₃	43,9	55,6	61,3	67,1
Fe ₂ O ₃	6,3	5,0	5,0	9,5
MgO	2,5	0,2	0	0
CaO	2,5	0,9	0,3	0
Na ₂ O	9,6	3,4	1,0	0
K ₂ O	14,6	10,1	6,9	5,6
TiO ₂	1,0	1,0	1,0	1,0
H ₂ O	2,3	12,2	17,2	22,0
Quartz SiO ₂	24,7	26,6	27,4	26,9
Orthose KAl Si ₃ O ₈	19,3	13,5	6,4	3,1
Plagioclase Na Al Si ₃ O ₈ - Ca ₂ Al ₂ Si ₂ O ₈	35,2	13,3	3,9	-
Muscovite KAl ₂ Si ₃ AlO ₁₀ (OH) ₂	13,7	14,7	15,2	14,9
Biotite K(Mg - Fe) ₃ Si ₃ AlO ₁₀ (OH) ₂	6,3	0,7	-	-
Kaolinite Al ₄ Si ₄ O ₁₀ (OH) ₈	-	28,8	44,4	46,4
Gibbsite Al(OH) ₃	-	-	-	4,0
Goethite FeO OH	-	2,0	2,3	4,3

Document 5. Analyse des compositions chimiques et minéralogiques le long d'un profil d'altération d'un granite en milieu tropical humide.

(d'après Hieronymus, Thèse 1985).

L'altération du granite en climat chaud et humide



Document 4. Nature minéralogique et épaisseur du manteau d'altération superficielle en région granitique selon la latitude.

(D'après G. Pedro, in : POMEROL C. et coll., « Eléments de géologie » 14^e édition DUNOD Ed., 2011).

L'évacuation des produits d'altération



La plaine d'épandage du Vatnajökull

On parle de processus fluvio-glaciaire lorsque des dépôts glaciaires sont remodelés par les eaux de fonte. Ce processus se déroule dans un secteur, la plaine d'épandage fluvio-glaciaire à l'aval d'un glacier

L'évacuation des produits d'altération



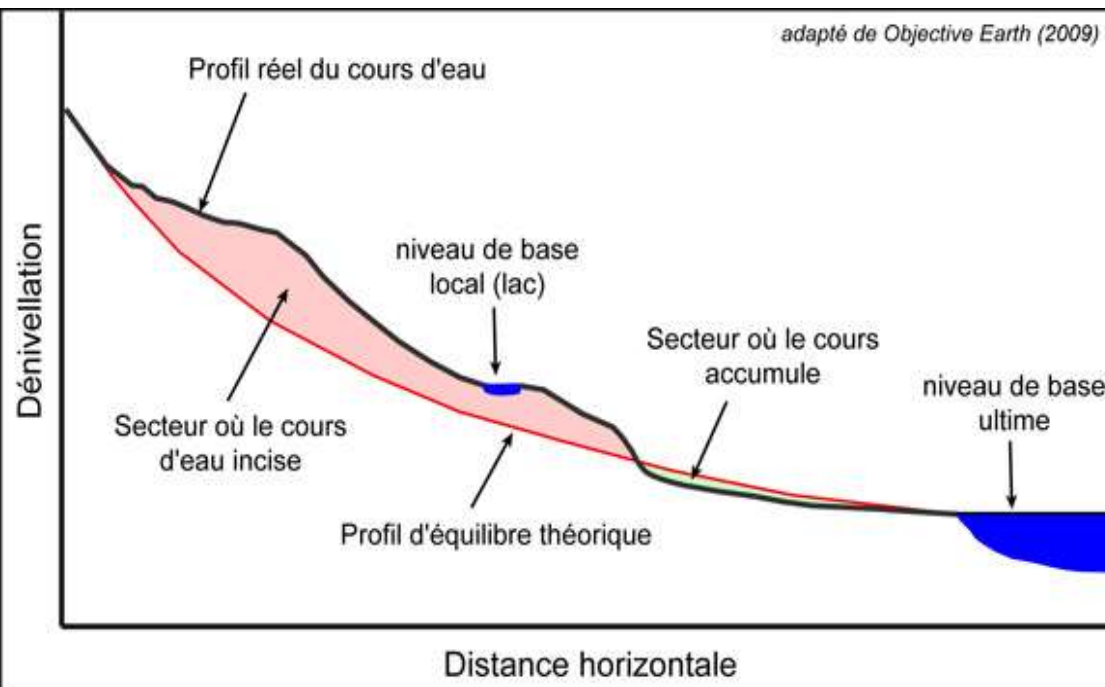
Les composantes de la partie amont d'un système fluvial (Vignemalle).

A : bassin de réception = glacier ;

B : torrent glaciaire ;

C : plaine d'épandage fluvio-glaciaire avec chenaux en tresses.

L'évacuation des produits d'altération



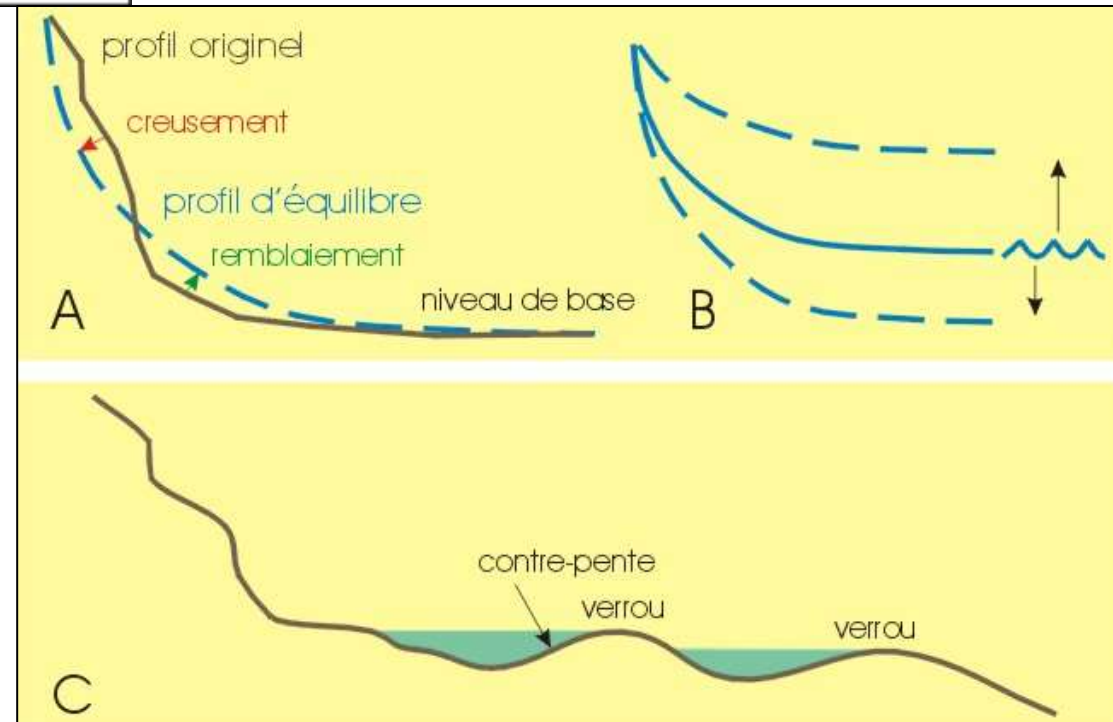
Document 7. Profil d'équilibre et niveau de base d'un cours d'eau.

<http://www2.ulg.ac.be/geolsed/processus/processus.htm>

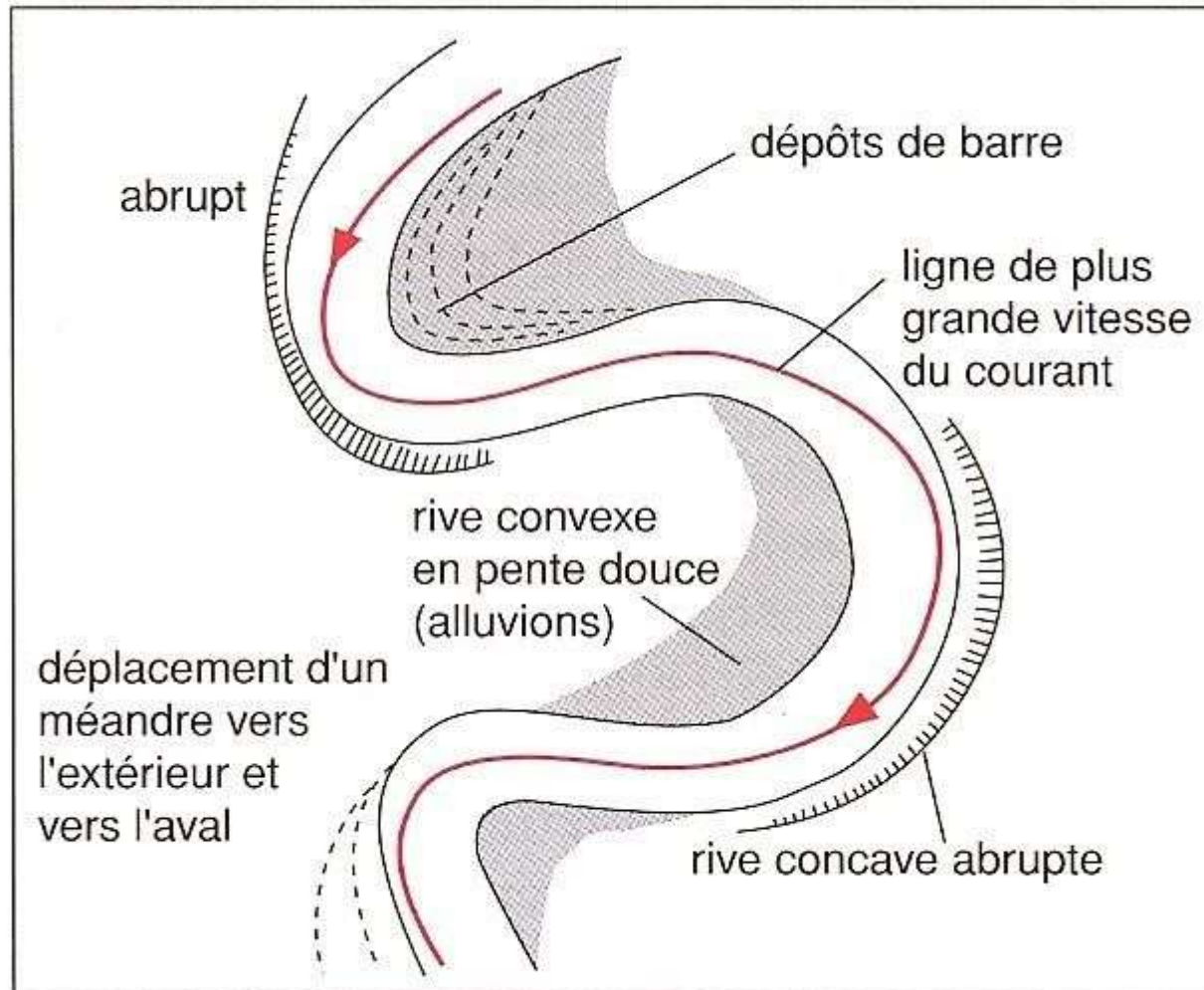
A : acquisition du profil d'équilibre par un cours d'eau.

B : modification du profil d'équilibre lors d'une montée ou d'une baisse du niveau de base.

C : profil longitudinal d'une vallée glaciaire; après disparition du glacier, les parties de la vallée situées en amont d'un verrou peuvent abriter un lac.



L'évacuation des produits d'altération



Profil de méandre et vitesse du courant .

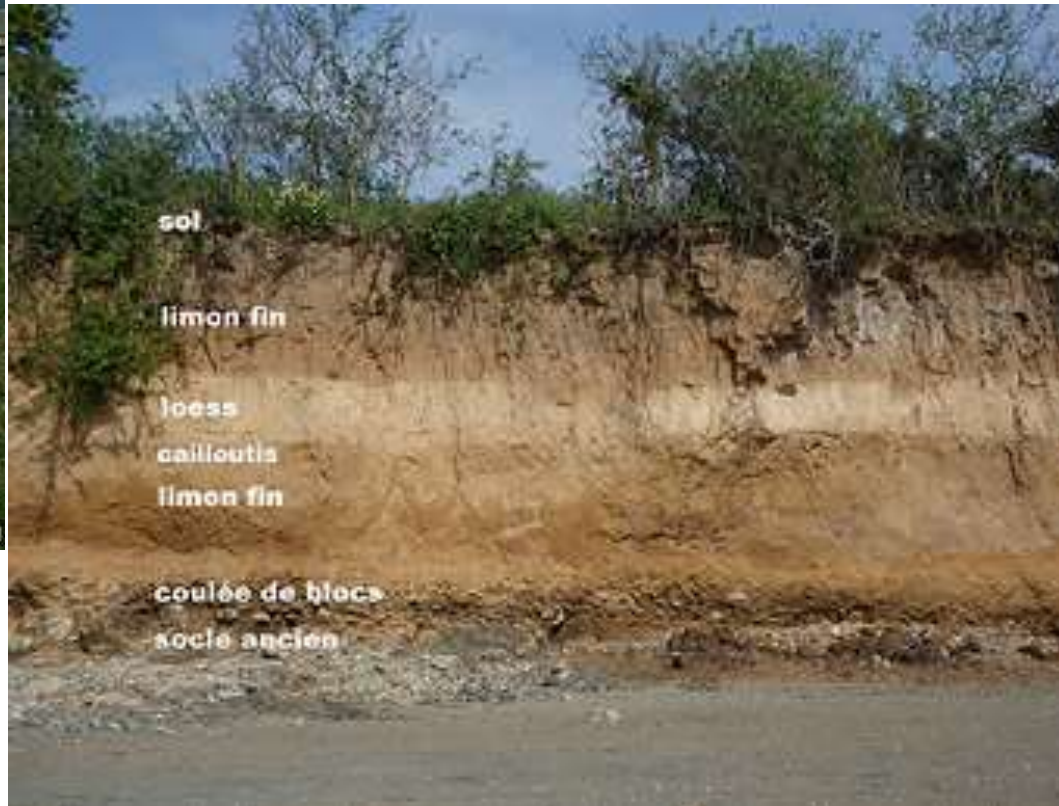
POMEROL C., LAGABRIELLE Y. et RENARD M. (2005) - Éléments de géologie, 13e édition, Dunod Ed., 760p.et Renard M.)

en amont de la confluence avec le Rhône La rivière Ain en amont de la confluence avec le Rhône



Les méandres de l'Ain en amont de Lyon
(les zones blanches correspondent à des plages de galets)

L'évacuation des produits d'altération



Le loess résulte, au cours du Pléistocène, de l'accumulation au sol, sous climat froid et sec, périglaciaires, de limons transportés par le vent depuis des zones sources (alluvions, dépôts fluvio-glaciaires, sédiments côtiers et estuariens, zones arides) soumises à une déflation éolienne alors que la végétation est steppique, clairsemée.

L'évacuation des produits d'altération



Terrasses fluvio-glaciaires.

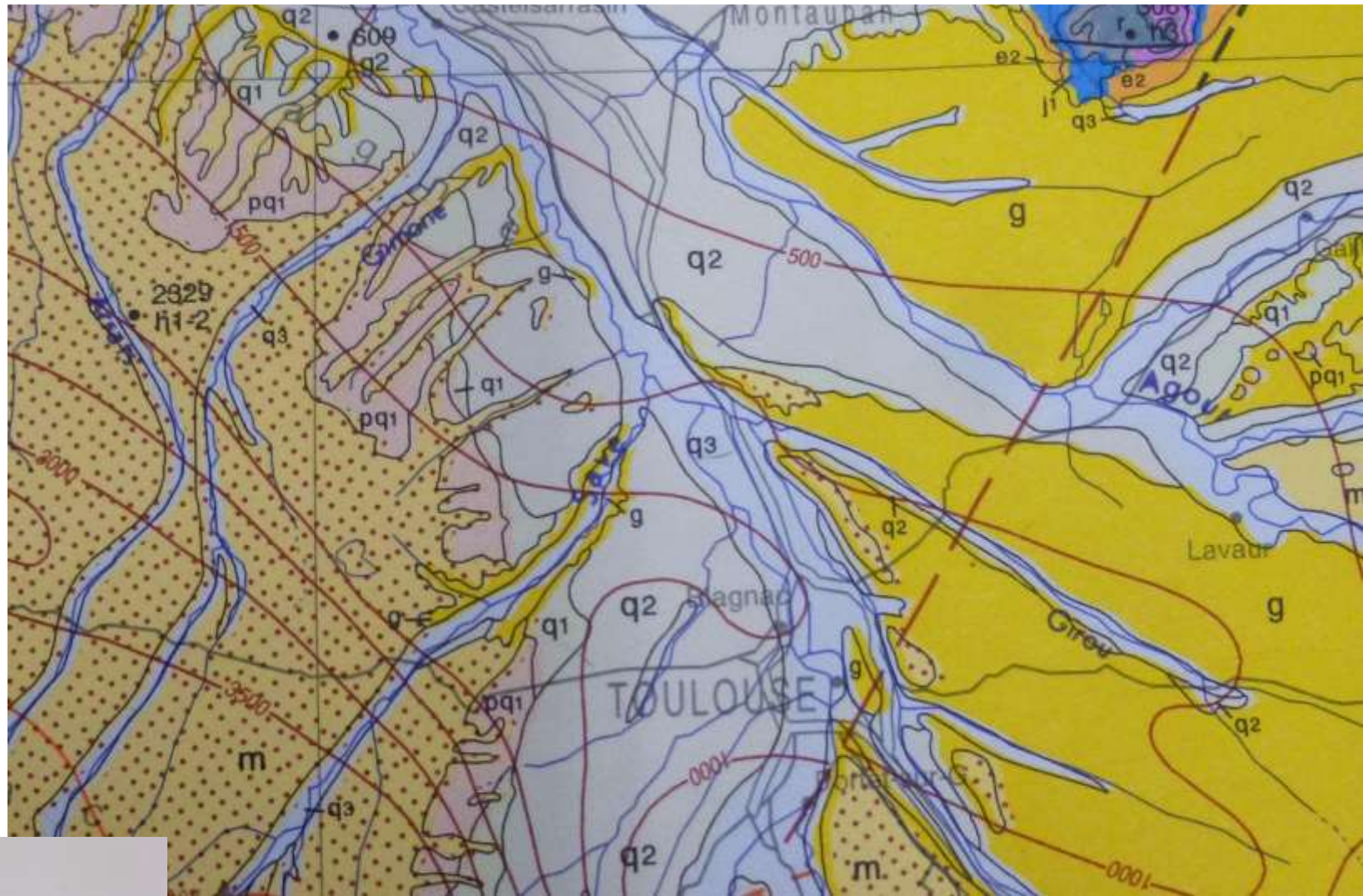
Avec le retrait du glacier et/ou les variations de débits et de la charge sédimentaire, les dépôts peuvent être incisés. Il se forme des terrasses.

L'évacuation des produits d'altération



Nombreuses terrasses fluviales étagées à Pokhara (Népal).
La terrasse t1 est la plus ancienne et la terrasse t5 est la plus récente.

L'évacuation des produits d'altération

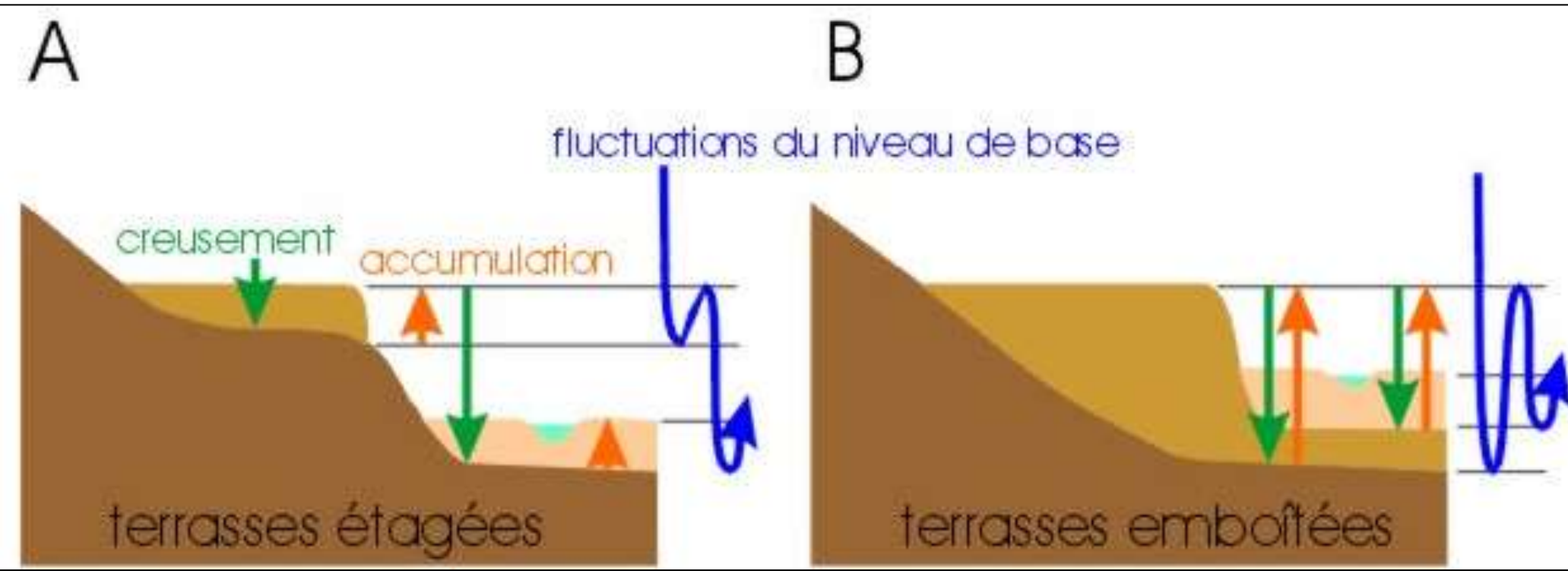


STRATIGRAPHIE
SÉDIMENTAIRE ET VOLCANISME



Les formations alluviales de la Garonne autour de Toulouse

L'évacuation des produits d'altération



Document 8. Structure des terrasses fluviales : terrasses étagées et terrasses emboîtées.

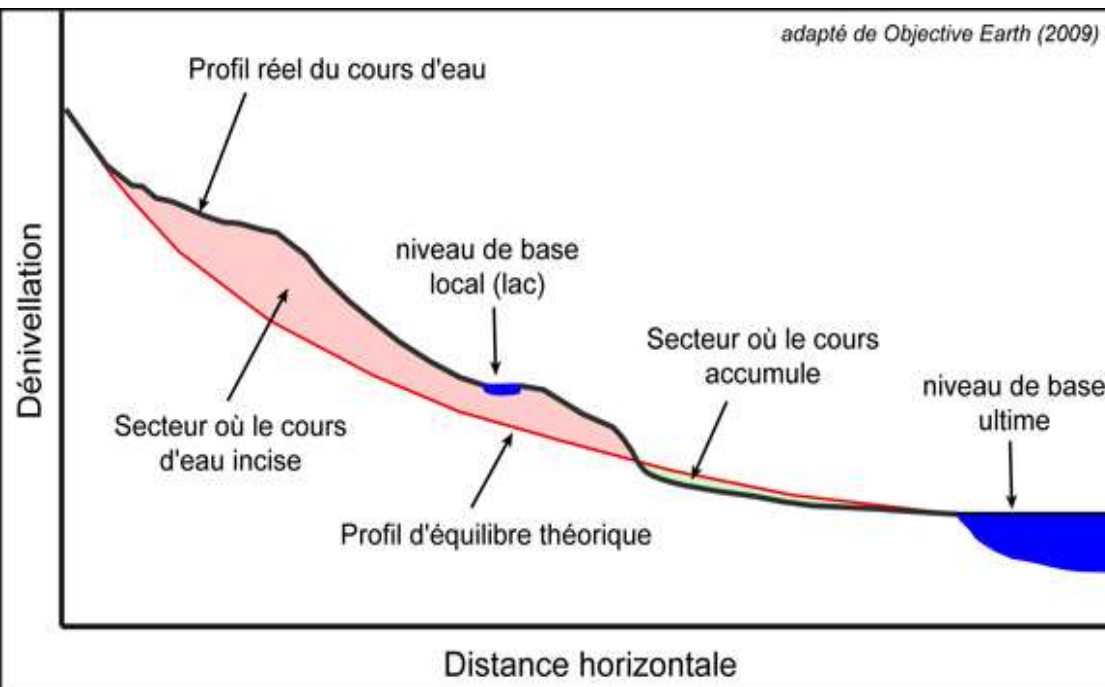
- A : les chutes du niveau de base provoquent un encaissement successif avec des terrasses de plus en plus jeunes vers le bas ;
- B: la première chute du niveau de base est très accentuée, provoquant un profond encaissement. Par la suite, les chutes du niveau de base ne sont plus aussi fortes et n'entament plus que la terrasse la plus ancienne.

L'évacuation des produits d'altération



Grano-classement dans des dépôts fluviaux de terrasses quaternaires.

L'évacuation des produits d'altération



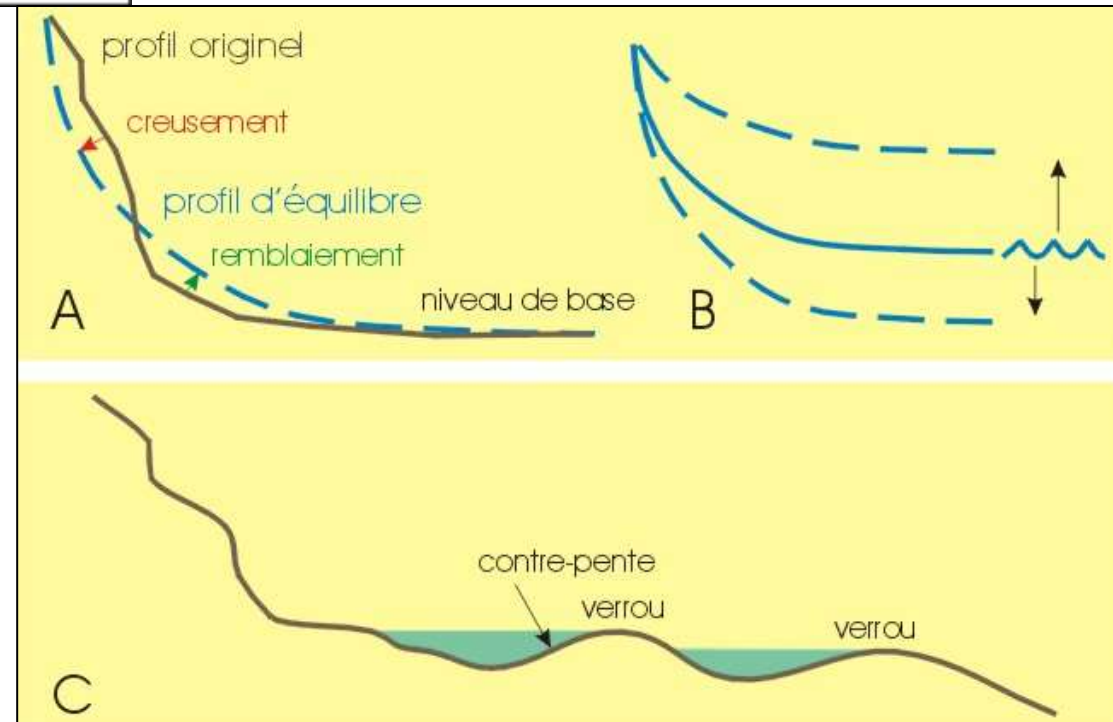
Document 7. Profil d'équilibre et niveau de base d'un cours d'eau.

<http://www2.ulg.ac.be/geolsed/processus/processus.htm>

A : acquisition du profil d'équilibre par un cours d'eau.

B : modification du profil d'équilibre lors d'une montée ou d'une baisse du niveau de base.

C : profil longitudinal d'une vallée glaciaire; après disparition du glacier, les parties de la vallée situées en amont d'un verrou peuvent abriter un lac.

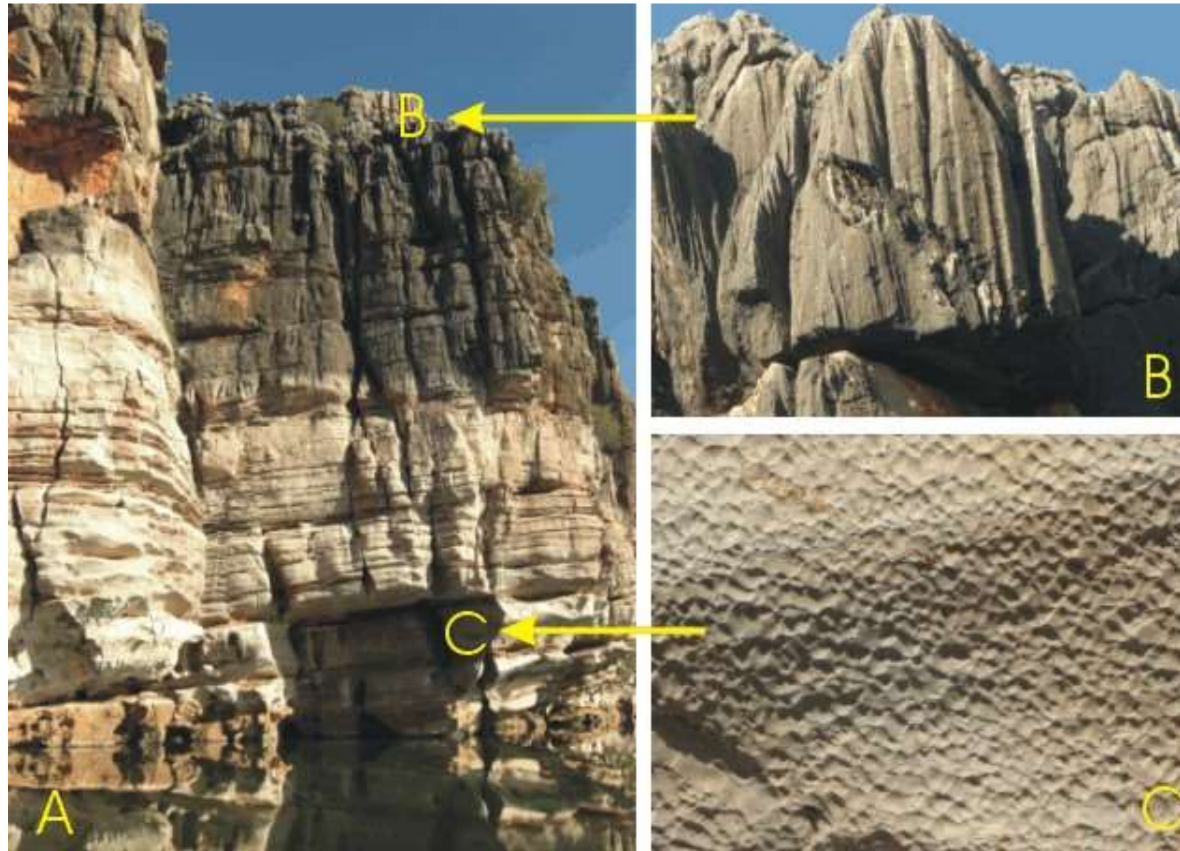


L'influence de la lithologie : en terrain calcaire



La forêt de pierre, Kunming, Republic of China.

L'influence de la lithologie : en terrain calcaire



Formes de dissolution par les eaux courantes et de ruissellement.

A : vue générale de la paroi calcaire surplombant la rivière Fitzroy (Australie). La partie inférieure (blanche) est régulièrement inondée par les crues de la rivière, alors que la partie supérieure est toujours exondée.

Des formes de dissolution différentes en résultent :

- lapiez (B) verticaux dans la partie supérieure de la paroi,
- cupules (C) dans la partie inférieure.

L'influence de la lithologie : en terrain calcaire



Lapiaz près de Thônes (Haute-Savoie)



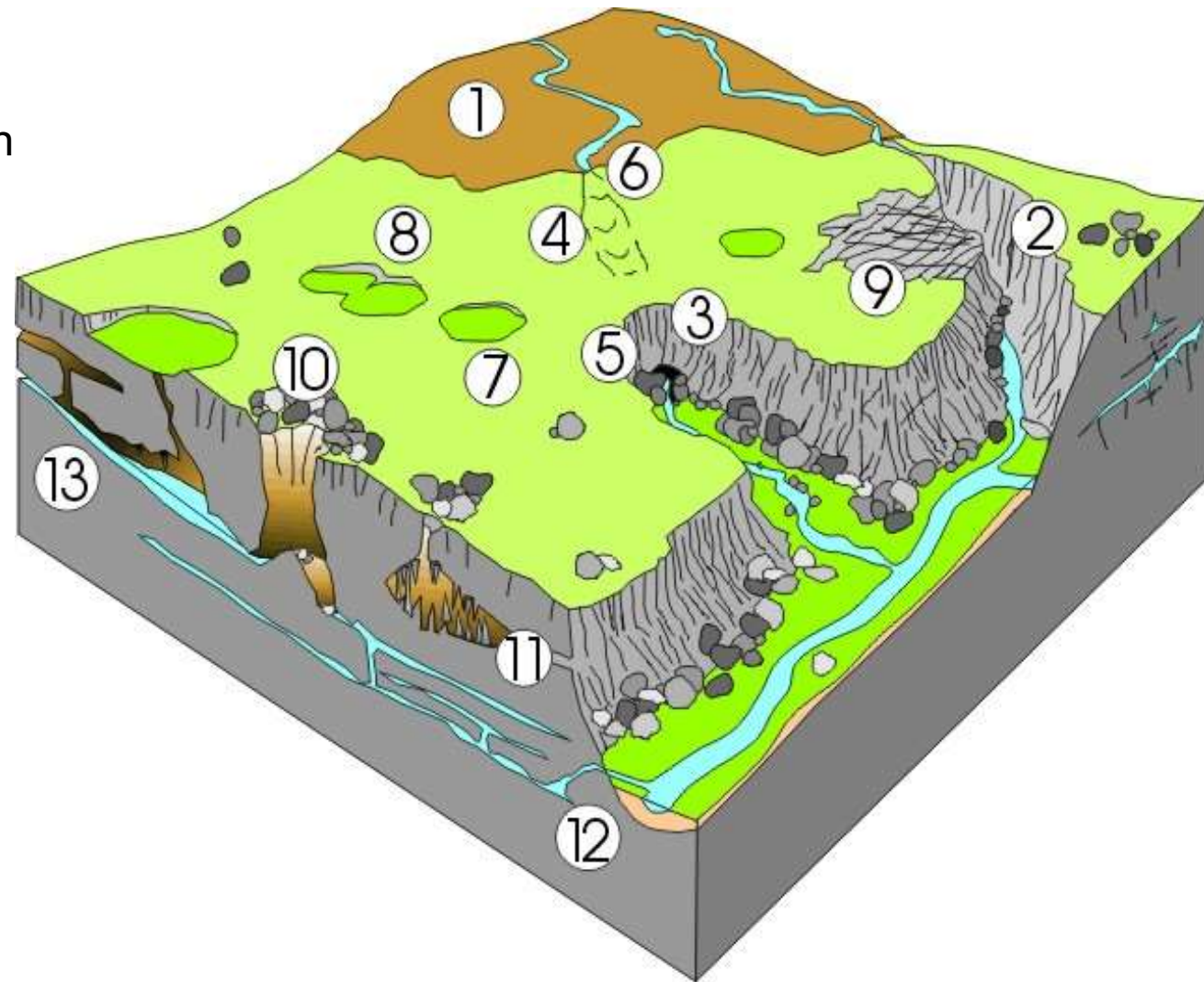
Dolines (flèches), Pic du Midi, Pyrénées.

L'influence de la lithologie : en terrain calcaire

Document 9. Morphologie karstique.

On nomme ainsi les formes d'érosion qui résultent de la dissolution des roches (surtout calcaires) par les eaux douces.

- (1) terrains non karstiques ;
- (2) canyon ;
- (3) reculée ;
- (4) vallée sèche ;
- (5) résurgence de rivière ;
- (6) perte ;
- (7) doline ;
- (8) ouvala ;
- (9) lapiez ;
- (10) aven ;
- (11) grotte ;
- (12) source vauclusienne ;
- (13) rivière souterraine.



L'influence de la lithologie : en terrain argileux, en terrain mixte



Parc national des Badlands (Dakota du Sud, USA).

Les roches sédimentaires de ces formations sont pour l'essentiel des argiles, sables, limons.

Vue générale de la Montagne de l'Aups (région de Gap, Hautes-Alpes).

Les terrains marneux sont surmontés par des bancs calcaires.



L'influence de la lithologie : en terrain argileux, en terrain mixte



Rocher de Dabo (Moselle).

La chapelle est construite sur une dalle de conglomérat (roche sédimentaire détritique formée de débris de roches mm liées par un ciment) qui repose sur du grès vosgien.

**Demoiselle coiffée
(encore appelée cheminée de Fée),
le Sauze du Lac (Hautes-Alpes).**

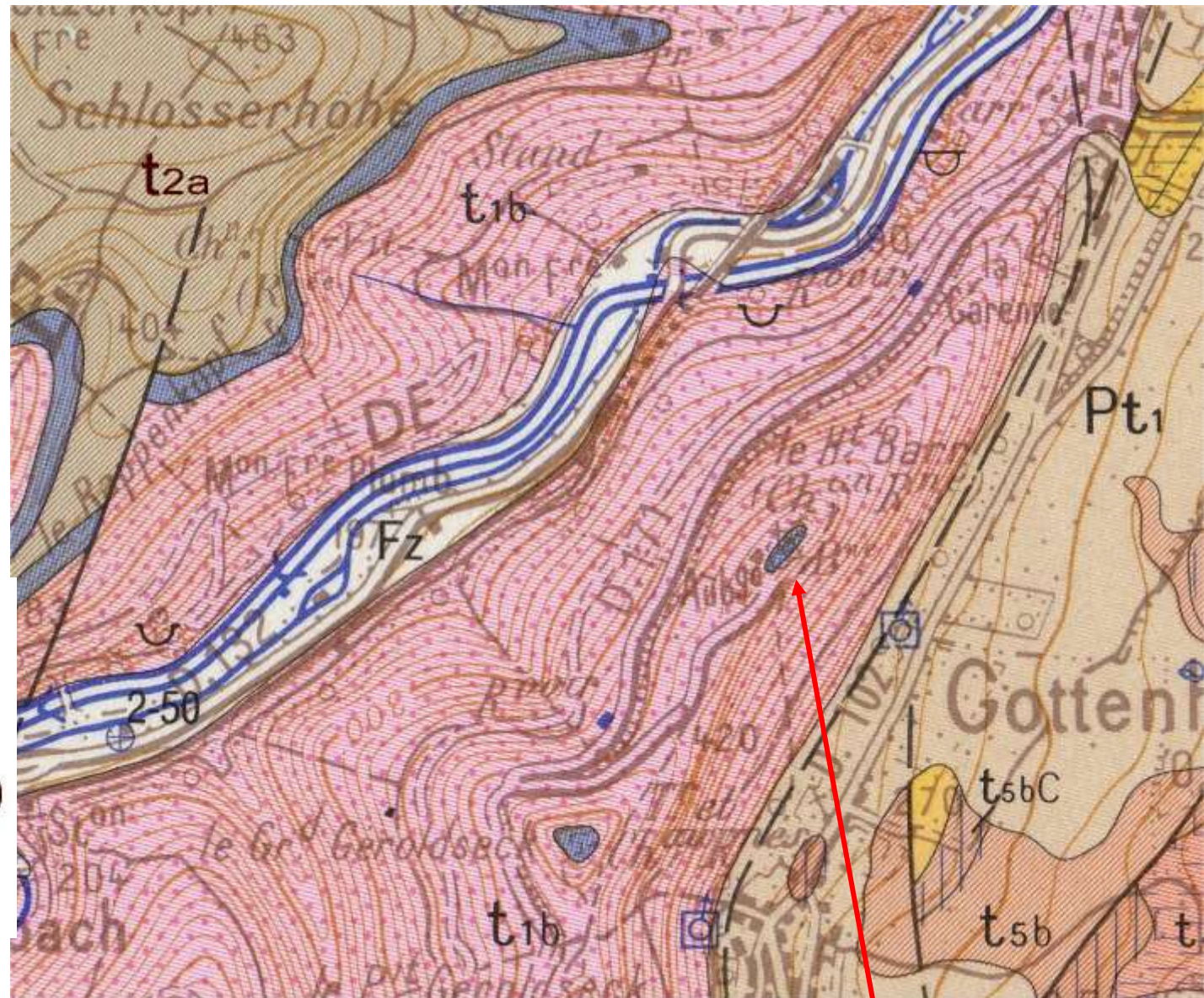


L'influence de la lithologie : en terrain argileux, en terrain mixte

Extrait de la carte
géologique
au 1 / 50 000^e
de Savernes

Légende

-  t2a : grès à voltzia
-  t1c : conglomérat principal (poudingue)
-  t1b : grès vosgien



Rocher de
Dabo

L'influence des facteurs structuraux



Une cuesta vue d'avion
(Utah, USA).

Remarquer le réseau hydrographique conséquent
qui entaille profondément le front de la cuesta.

L'influence des facteurs structuraux

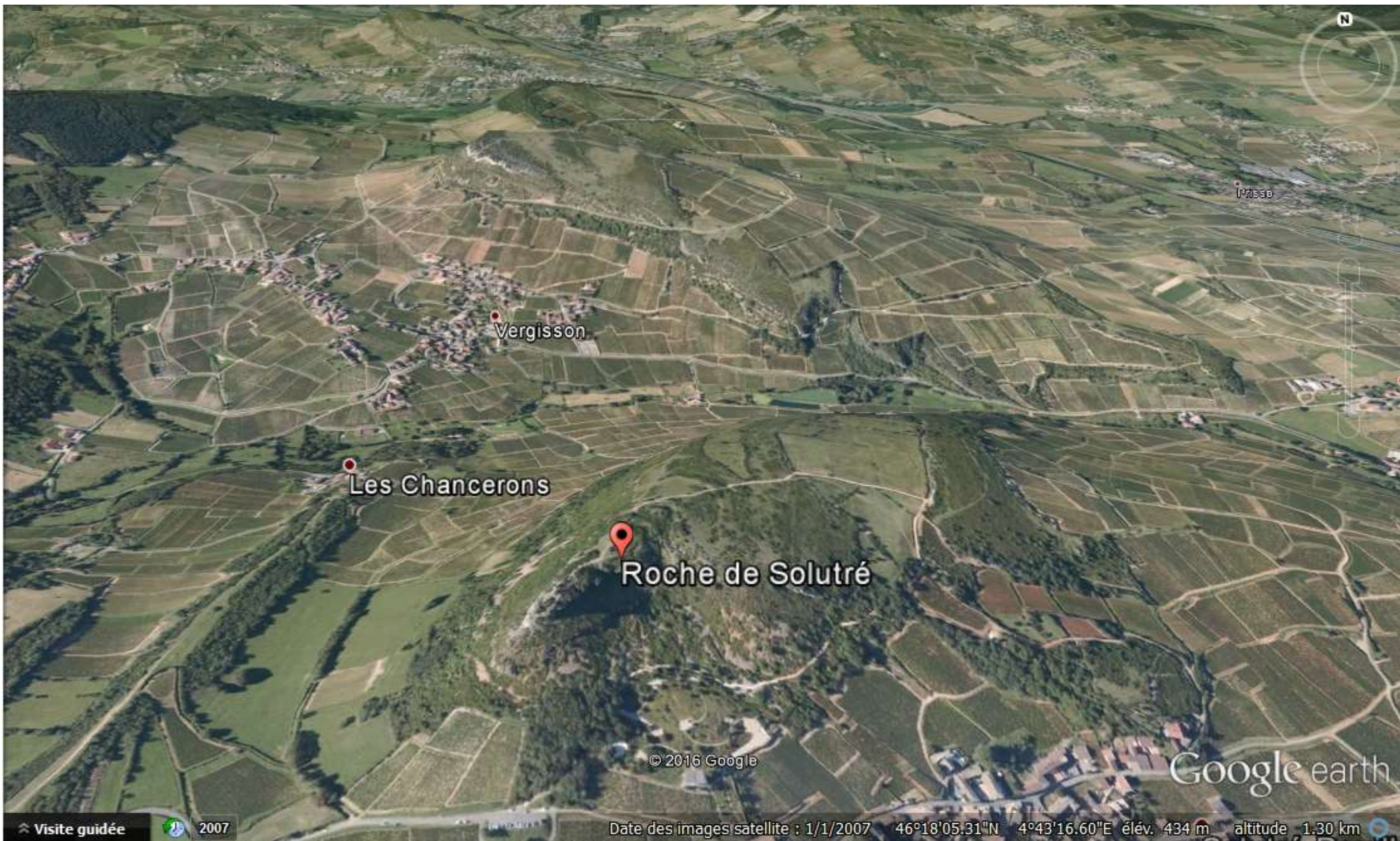


Image Google Earth de la région de Solutré (Mâconnais)

L'influence des facteurs structuraux



La roche de Solutré (premier plan) et le rocher de Vergisson (second plan)

L'influence des facteurs structuraux

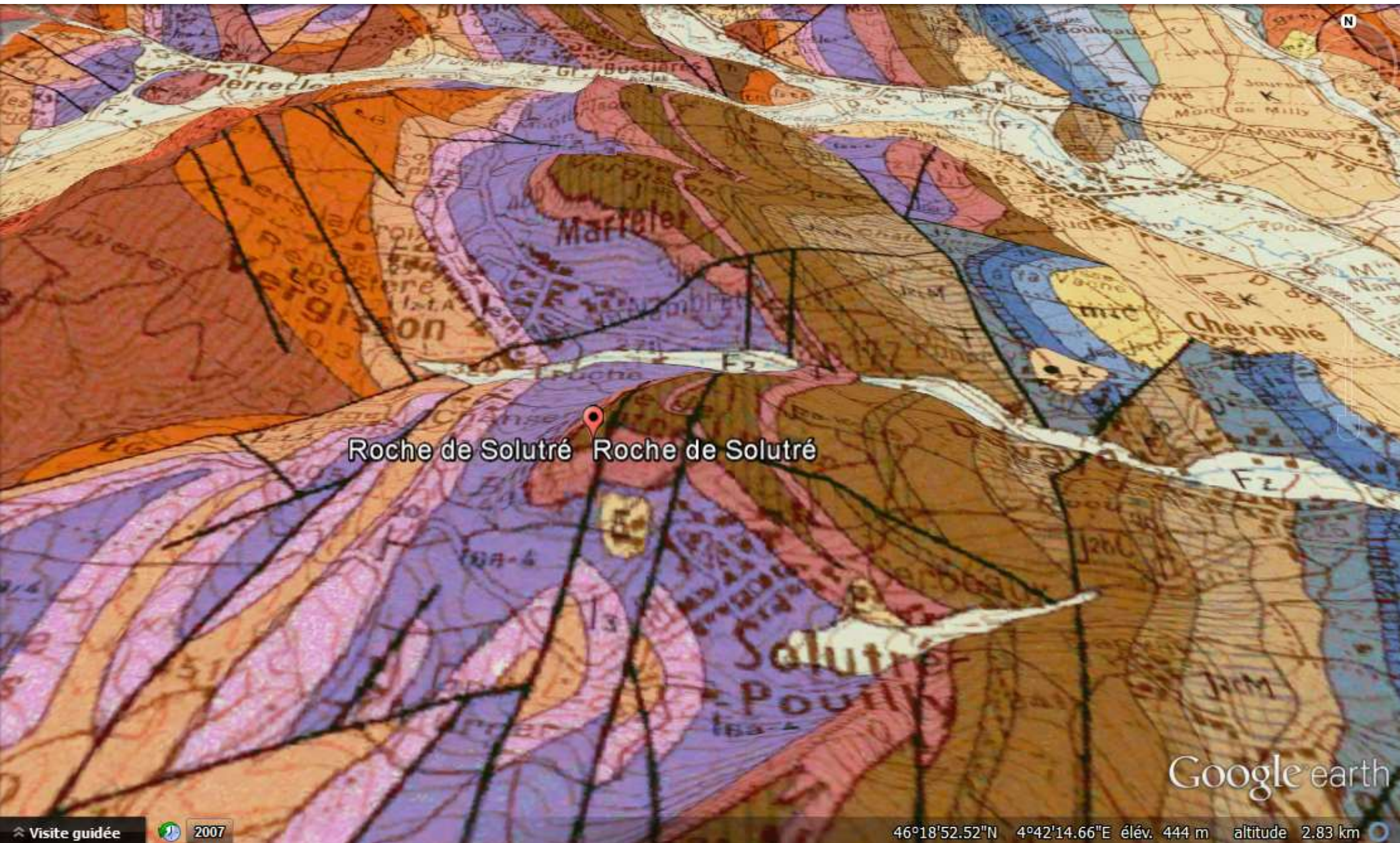
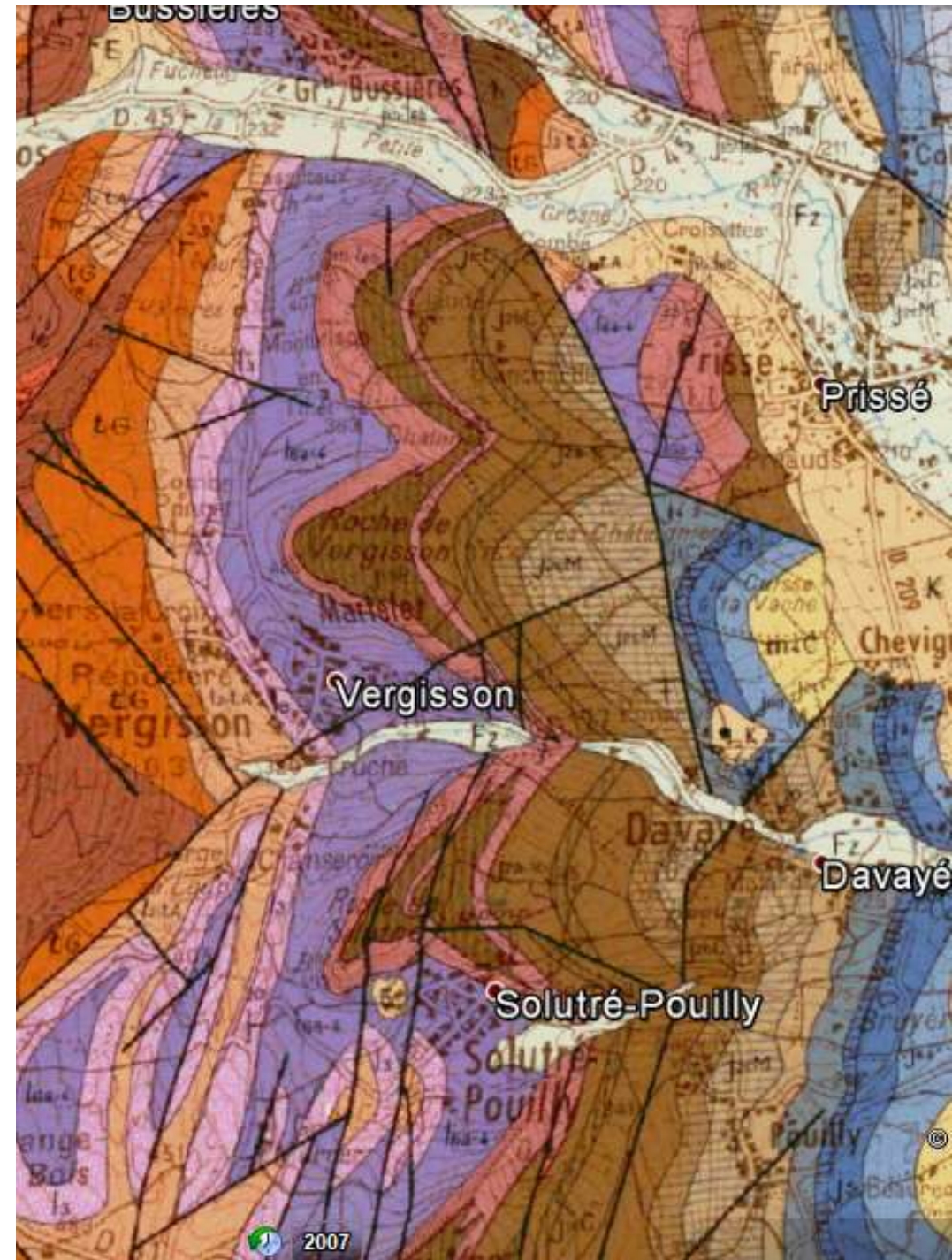


Image Google Earth de la région de Solutré (Mâconnais) avec carte géologique « nappée »

L'influence des facteurs structuraux



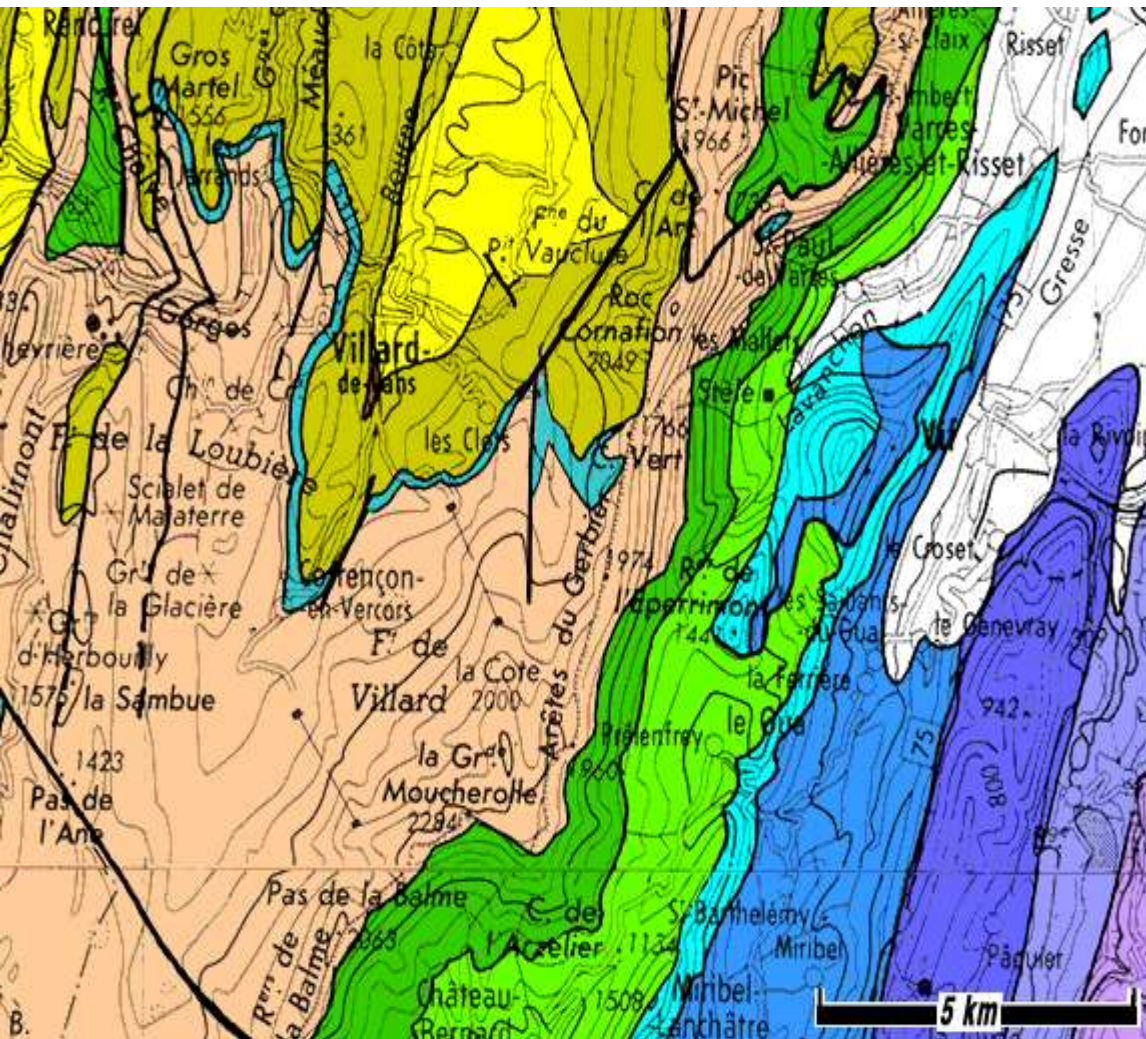
Extrait de la feuille de Macon 1/50000

L'influence des facteurs structuraux

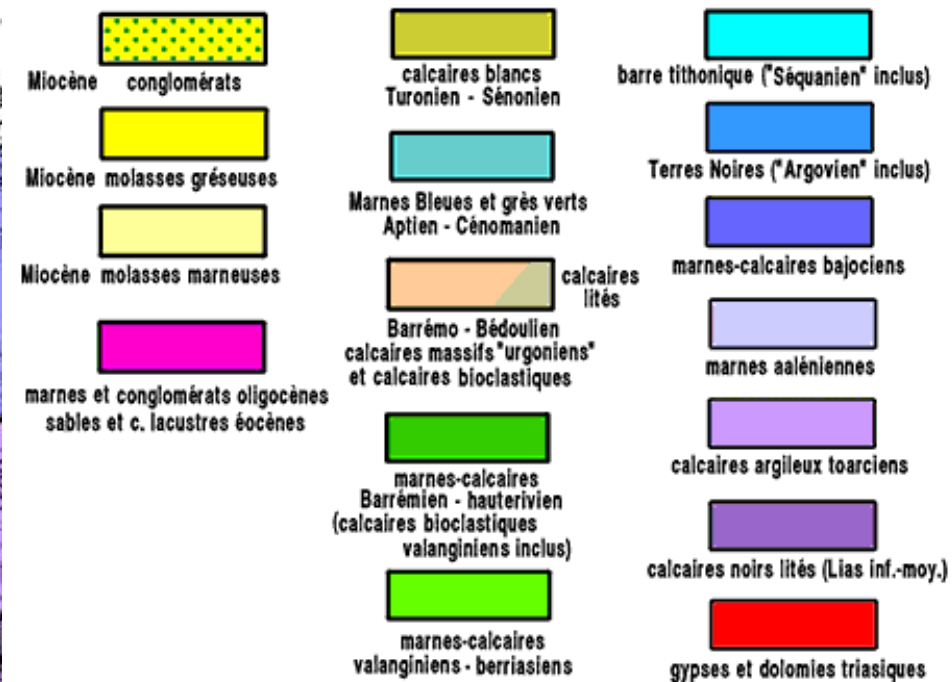


Le Moucherotte et le Val de Lans, vus d'avion du Nord (Vercors, Isère).
Le Moucherotte constitue le promontoire septentrional de barrière orientale du Vercors.
La flèche indique le Pic St Michel (repérable au Nord de la carte ci-dessous).

L'influence des facteurs structuraux



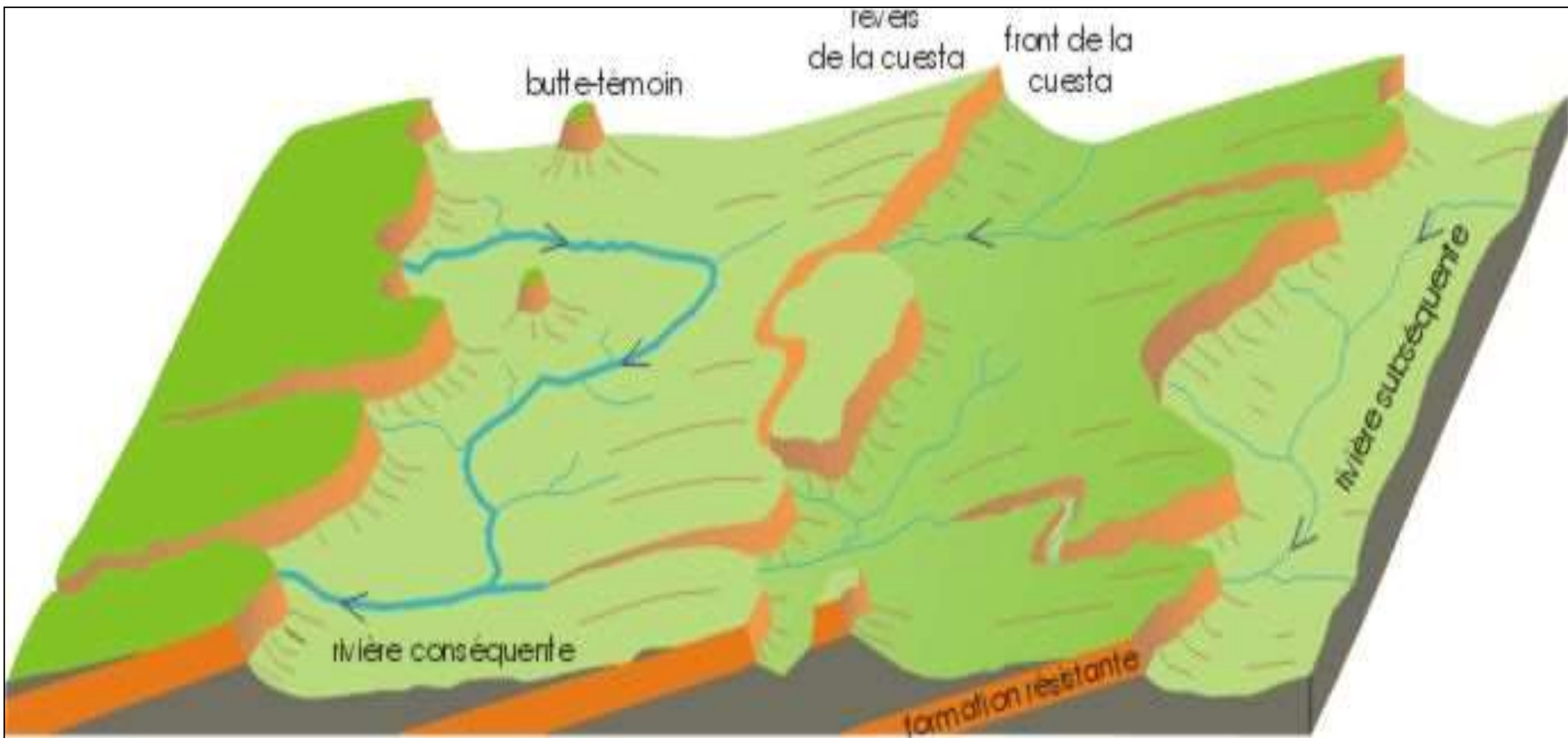
Légende des cartes géologiques simplifiées du VERCORS



Carte géologique très simplifiée du Vercors oriental à la latitude de Villard de Lans.

[Redessinée sur la base de la carte géologique d'ensemble des Alpes occidentales, du Léman à Digne, au 1/250.000^o, par M. Gidon (1977)].

L'influence des facteurs structuraux



Document 10. Disposition théorique des cuestas et de leur réseau hydrographique.

Le réseau fluvial est :

- soit conséquent : il suit le pendage général des formations en entaillant la cuesta, sans que la dureté relative des roches intervienne,
- soit subséquent : il longe le front de la cuesta en respectant les couches les plus résistantes.

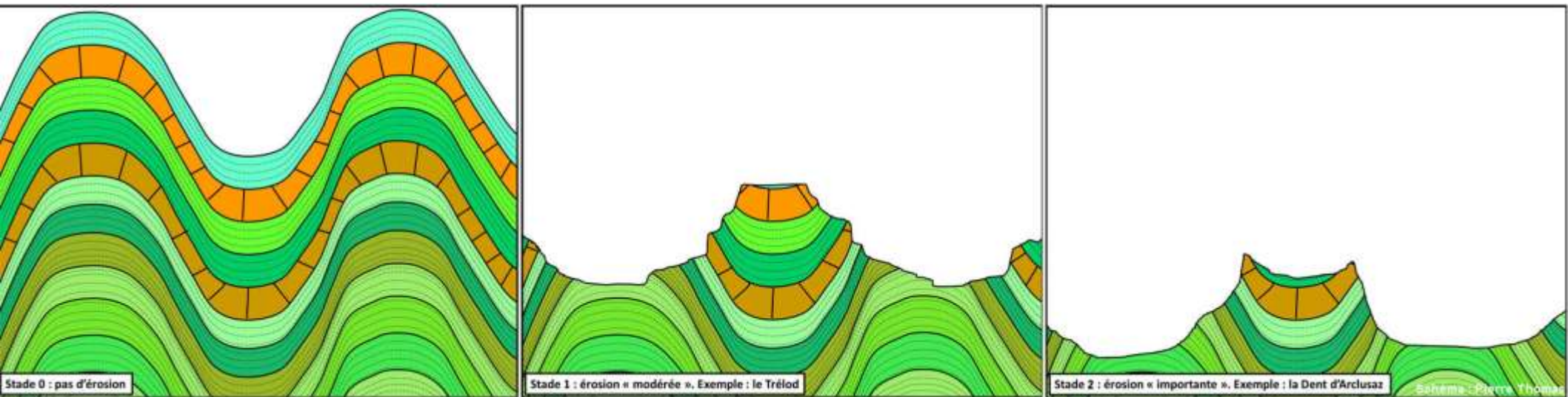
L'influence des facteurs structuraux



Photographie : Baptiste Journaux

La dent d'Arclusaz (savoie) , un exemple de synclinal perché

L'influence des facteurs structuraux



**Séquence de schémas expliquant la formation d'un synclinal perché
(d'après Pierre Thomas et Patrick Thollot, Planet Terre)**

L'influence des facteurs structuraux

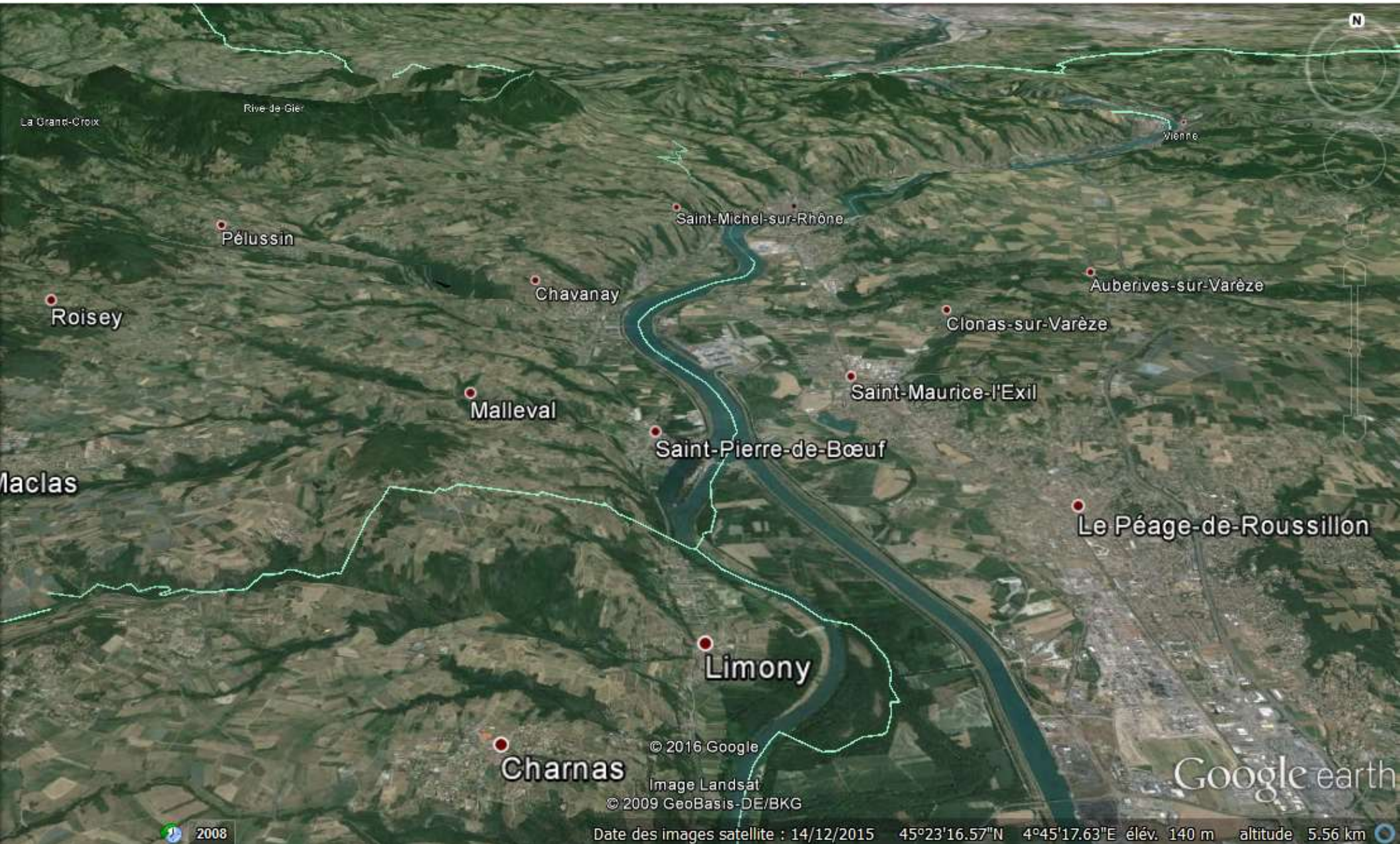


Image Google Earth de la Vallée du Rhône, au Sud de Vienne

L'influence des facteurs structuraux

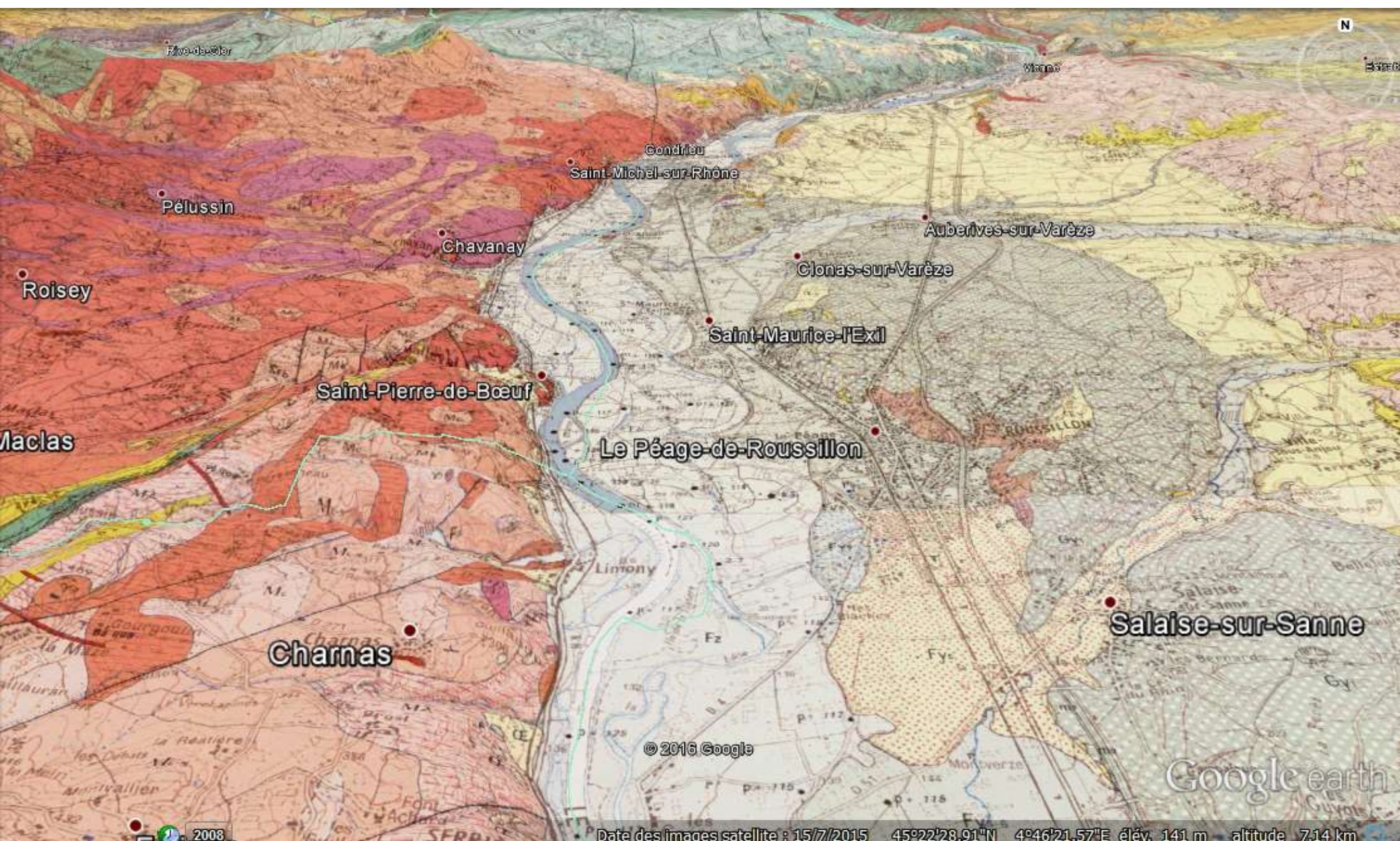
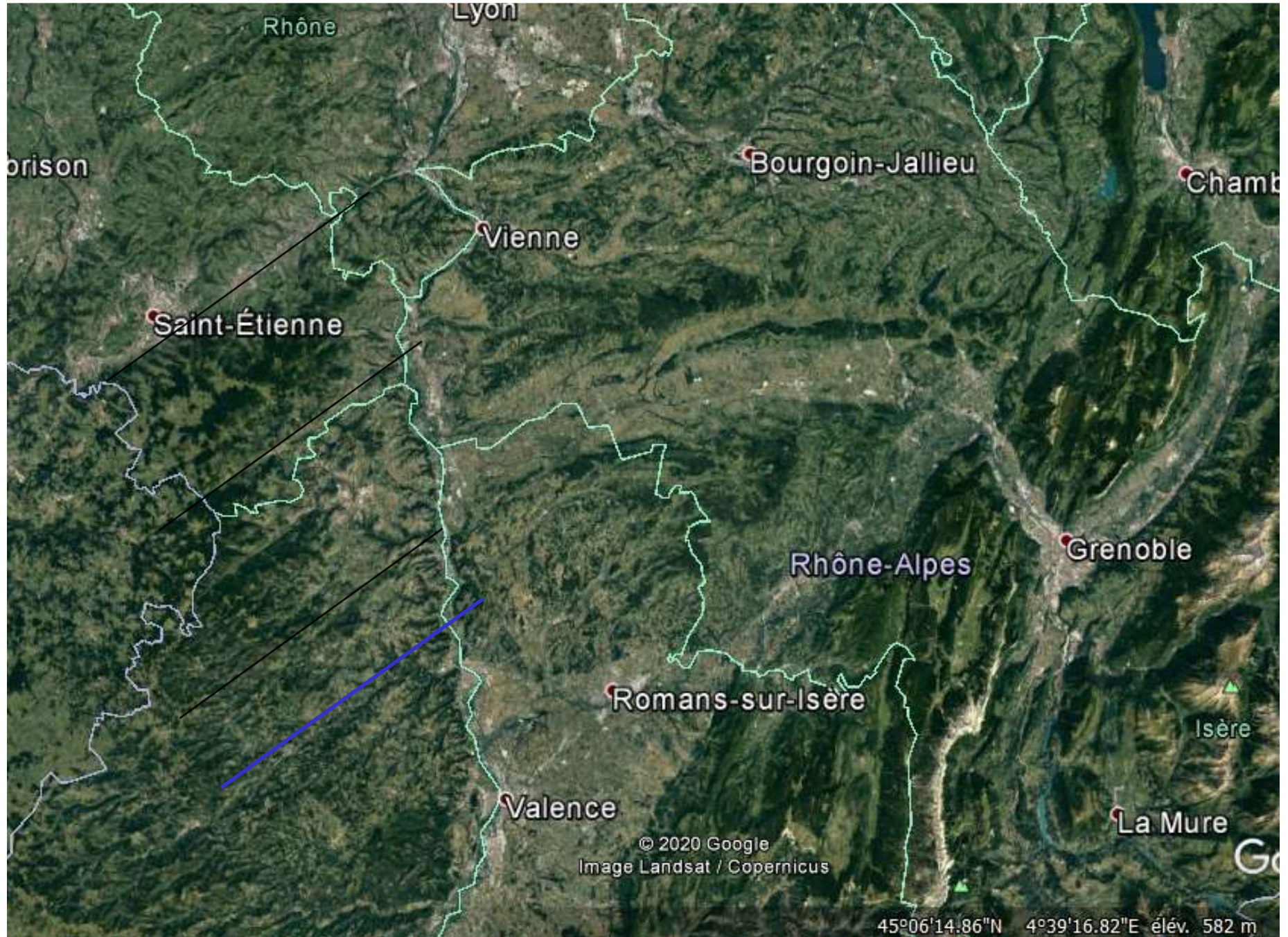


Image Google Earth de la Vallée du Rhône, au Sud de Vienne avec carte géologique « nappée »

L'influence des facteurs structuraux



Observez l'orientation des vallées sur la bordure est du Massif Central

L'influence des facteurs structuraux

